



UNIVERSITAS INDONESIA

**ANALISA PERFORMA SEPEDA MOTOR 4 LANGKAH 1  
SILINDER FUEL INJECTION 125 CC TERHADAP VARIASI  
CAMPURAN PERTAMAX-ETANOL (E10-E30)**

**SKRIPSI**

**Diajukan sebagai salah satu syarat untuk memperoleh gelar Sarjana Teknik  
pada Program Studi Teknik Mesin Fakultas Teknik Universitas Indonesia**

**SIGIT IRIYANTO**

**NPM : 0606042166**

**FAKULTAS TEKNIK  
DEPARTEMEN TEKNIK MESIN  
DEPOK  
DESEMBER 2008**



UNIVERSITAS INDONESIA

**ANALISA PERFORMA SEPEDA MOTOR 4 LANGKAH 1  
SILINDER FUEL INJECTION 125 CC TERHADAP VARIASI  
CAMPURAN PERTAMAX-ETANOL (E10-E30)**

**SKRIPSI**

**Diajukan sebagai salah satu syarat untuk memperoleh gelar Sarjana Teknik  
pada Program Studi Teknik Mesin Fakultas Teknik Universitas Indonesia**

**SIGIT IRIYANTO**

**NPM : 0606042166**

**FAKULTAS TEKNIK  
DEPARTEMEN TEKNIK MESIN  
DEPOK  
DESEMBER 2008**

## **HALAMAN PERNYATAAN ORISINALITAS**

Skripsi ini adalah hasil karya saya sendiri, dan semua sumber baik yang dikutip  
maupun dirujuk telah saya nyatakan dengan benar

Nama : Sigit Iriyanto

NPM : 0606042166

Tanda Tangan : .....

Tanggal : 24 Desember 2008

## **HALAMAN PENGESAHAN**

Skripsi ini diajukan oleh :

Nama : Sigit Iriyanto

NPM : 0606042166

Program Studi : Teknik Mesin

Judul Skripsi :

**ANALISA PERFORMA SEPEDA MOTOR 4 LANGKAH 1 SILINDER FUEL INJECTION 125 CC TERHADAP VARIASI CAMPURAN PERTAMAX-ETANOL (E10-E30)**

**Telah berhasil dipertahankan di hadapan Dewan Penguji dan diterima sebagai bagian persyaratan yang diperlukan untuk memperoleh gelar Sarjana Teknik pada Program Studi Teknik Mesin, Fakultas Teknik, Universitas Indonesia**

### **DEWAN PENGUJI**

Pembimbing : Prof. DR. Ir. Bambang Sugiarto M Eng ( ..... )

Penguji : Dr Ir Adi Suryosaty M Eng ( ..... )

Penguji : Dr Ir Yulianto S. Nugroho MSc ( ..... )

Penguji : Dr Ir Danardono AS. ( ..... )

Ditetapkan di : Depok

Tanggal : 24 Desember 2008

## **KATA PENGANTAR/UCAPAN TERIMA KASIH**

Puji syukur saya panjatkan kepada Allah SWT, karena atas berkat dan rahmat-Nya, saya dapat menyelesaikan skripsi ini. Penulisan skripsi ini dilakukan dalam rangka memenuhi salah satu syarat untuk mencapai gelar Sarjana Teknik Jurusan Teknik Mesin pada Fakultas Teknik Universitas Indonesia. Saya menyadari bahwa, tanpa bantuan dan bimbingan dari berbagai pihak, dari masa perkuliahan sampai pada penyusunan skripsi ini, sangatlah sulit bagi saya untuk menyelesaikan skripsi ini. Oleh karena itu, saya mengucapkan terima kasih kepada:

- (1) Prof. DR. Ir. Bambang Sugiarto MEng, selaku dosen pembimbing yang telah menyediakan waktu, tenaga, dan pikiran untuk mengarahkan saya dalam penyusunan skripsi ini;
- (2) pihak Sportisi Motor Sport dan PT. Khatulistiwa Suryanusa yang telah banyak membantu dalam usaha memperoleh data yang saya perlukan;
- (3) orang tua dan keluarga saya yang telah memberikan bantuan dukungan material dan moral; dan
- (4) kepada sahabat saya (Rinto Yoga Pratomo, Ryoko Aji, Ii Suhirta, dll) yang telah banyak membantu saya dalam menyelesaikan skripsi ini.

Akhir kata, semoga Allah SWT berkenan membala segala kebaikan semua pihak yang telah membantu. Semoga skripsi ini membawa manfaat bagi pengembangan ilmu.

Depok, 5 Desember 2008

Penulis

## **HALAMAN PERNYATAAN PERSETUJUAN PUBLIKASI TUGAS AKHIR UNTUK KEPENTINGAN AKADEMIS**

---

Sebagai sivitas akademik Universitas Indonesia, saya yang bertanda tangan dibawah ini:

Nama : Sigit Iriyanto

NPM : 0606042166

Program Studi : Teknik Mesin

Departemen : Teknik Mesin

Fakultas : Teknik

Jenis karya : Skripsi

Demi pengembangan ilmu pengetahuan, menyetujui untuk memberikan kepada Universitas Indonesia **Hak Bebas Royalti Noneksklusif (Non-exclusive Royalty-Free Right)** atas karya ilmiah saya yang berjudul : **ANALISA PERFORMA SEPEDA MOTOR 4 LANGKAH 1 SILINDER FUEL INJECTION 125 CC TERHADAP VARIASI CAMPURAN PERTAMAX-ETANOL (E10-E30)**, beserta perangkat yang ada (jika diperlukan). Dengan Hak Bebas Royalti Noneksklusif ini Universitas Indonesia berhak menyimpan, mengalihmedia/formatkan, mengelola dalam bentuk pangkalan data (database), merawat, dan mempublikasikan tugas akhir saya selama tetap mencantumkan nama saya sebagai penulis/pencipta dan sebagai pemilik Hak Cipta.

Demikian pernyataan ini saya buat dengan sebenarnya.

Dibuat di : Depok

Pada tanggal : 5 Desember 2008

Yang menyatakan

(Sigit Iriyanto)

## **ABSTRAK**

Nama : Sigit Iriyanto

Program Studi : Teknik Mesin

Judul : ANALISA PERFORMA SEPEDA MOTOR 4 LANGKAH 1 SILINDER FUEL INJECTION 125 CC TERHADAP VARIASI CAMPURAN PERTAMAX-ETANOL (E10-E30)

Harga minyak bumi yang fluktuatif, keterbatasan sumber energi minyak bumi dan timbulnya masalah polusi udara serta *global warming* mengintensifkan pencarian sumber energi baru. Etanol merupakan salah satu sumber energi alternatif pengganti minyak bumi yang paling prospektif dikarenakan *Research Octane Number* (RON), kalor penguapan dan *flame speed* lebih tinggi dibandingkan dengan *pertamax* serta lebih ramah lingkungan. Pengujian memfokuskan pada karakteristik pembakaran campuran etanol dan *pertamax* pada *Spark Ignition Engine* (SIE) dengan memvariasikan prosentase etanol (10%, 20%, dan 30%), dan kecepatan putaran *engine*. Dengan campuran etanol dan *pertamax* ini diharapkan kinerja *engine* lebih baik dan emisi gas buang lebih rendah.

Kata kunci:

Karakteristik pembakaran, kinerja, *engine*, emisi gas buang

## **ABSTRACT**

Name : Sigit Iriyanto

Study Program: Mechanical Engineering

Title : PERFORMANCE ANALISIS OF COMBUSTION FOR GASOLINE (RON 92) AND GASOLINE MIXTURE (E10-E30) ON MOTORCYCLE 4 STROKE 1 CYLINDER FUEL INJECTION 125 CC

Increase of oil price, nonrenewable of oil energy and air pollution also global warming issue, make searching of alternative energy more intensively. Ethanol is one of most prospective alternative energy, because of Research Octane Number (RON), vapor heat, flame speed are higher than gasoline also friendly environment energy. This testing will be focus on characteristic combustion for ethanol and gasoline mixture on Spark Ignition Engine (SIE) with variation of ethanol percentage (10%, 20%, and 30%), and rotation speed of engine. With ethanol and gasoline mixture expected the result will increase performance of engine and decrease gas emission.

Key word:

Characteristic combustion, performance, *engine*, gas emission.

## DAFTAR ISI

|   |      |
|---|------|
| HALAMAN JUDUL .....   | i    |
| HALAMAN PERNYATAAN ORISINALITAS .....   | ii   |
| HALAMAN PENGESAHAN .....  | iii  |
| KATA PENGANTAR/UCAPAN TERIMA KASIH .....  | iv   |
| HALAMAN PERNYATAAN PERSETUJUAN PUBLIKASI TUGAS AKHIR<br>UNTUK KEPENTINGAN AKADEMIS..... | v    |
| ABSTRAK.....  | vi   |
| ABSTRACT .....  | vii  |
| DAFTAR ISI.....   | viii |
| DAFTAR GAMBAR .....   | xi   |
| DAFTAR TABEL .....  | xiv  |
| DAFTAR LAMPIRAN.....  | xv   |
| <b>BAB I PENDAHULUAN</b>  |      |
| 1.1. Latar Belakang.....  | 1    |
| 1.2. Perumusan Masalah.....   | 2    |
| 1.3. Batasan Masalah.....   | 3    |
| 1.4. Tujuan Penelitian .....  | 3    |
| 1.5. Manfaat Penulisan .....  | 3    |
| 1.6. Sistematika Penulisan .....  | 4    |
| <b>BAB II DASAR TEORI</b>   |      |
| 2.1. Penjelasan umum mesin otto.....  | 5    |
| 2.1.1. Mesin bermotor.....  | 7    |
| 2.1.2. <i>Single Overhead Cam</i> .....   | 7    |
| 2.1.3. Pembukaan dan penutupan katup.....   | 7    |
| 2.1.3.1 <i>Intake Valve</i> .....   | 8    |
| 2.1.3.2 <i>Exhause Valve</i> .....  | 8    |
| 2.1.4. Pendinginan udara .....  | 8    |
| 2.1.5. Sistem <i>Fuel Injection</i> .....   | 8    |
| 2.1.6. Pompa bahan bakar tipe elektrik.....   | 9    |
| 2.1.7. <i>Electronic ignition (EI)</i> .....  | 9    |

|  |    |
|--|----|
| 2.2. Parameter Unjuk Kerja Motor Pembakaran Dalam.....                                     | 9  |
| 2.2.1. Daya.....   | 9  |
| 2.2.2. Konsumsi Bahan Bakar Spesifik.....  | 10 |
| 2.2.3. <i>Efficiency Thermal</i> , $\eta_{th}$ .....                                       | 10 |
| 2.3. Emisi Gas Buang Motor Bensin.....   | 10 |
| 2.3.1. Karbon Monoksida, CO.....   | 11 |
| 2.3.2. Nitrogen Oksida, NO <sub>x</sub> .....  | 11 |
| 2.3.3. Hidrokarbon, HC.....  | 12 |
| 2.4. Bahan bakar.....  | 12 |
| <b>BAB III METODE PENELITIAN</b>   |    |
| 3.1. Penelitian.....   | 15 |
| 3.2. Tempat dan Alat Penelitian.....   | 15 |
| 3.3. Prosedur Pengujian.....   | 17 |
| 3.4. Sistematika Penelitian.....   | 18 |
| <b>BAB IV PENGOLAHAN DAN ANALISA DATA</b>  |    |
| 4.1 Data Hasil Penelitian.....   | 19 |
| 4.1.1. Spesifikasi data alat uji.....  | 19 |
| 4.1.1.1. Data Engine.....  | 19 |
| 4.1.1.2. Data Bahan bakar.....   | 19 |
| 4.2 Perhitungan data.....  | 20 |
| 4.2.1. Brake Horse Power ( <i>Bhp</i> ).....   | 20 |
| 4.2.2. <i>Fuel Consumption</i> (FC).....   | 20 |
| 4.2.3. <i>Specific Fuel Consumption</i> (SFC).....   | 21 |
| 4.2.4. Efisiensi Thermal ( $\eta_{th}$ ).....  | 21 |
| 4.3. Analisa Unjuk Kerja.....  | 21 |
| 4.3.1. Analisa Daya, SFC, FC dan Effisiensi Thermal terhadap Waktu Pengapian 10° BTDC..... | 22 |
| 4.3.1.1. Daya pada pengapian 10° BTDC.....   | 22 |
| 4.3.1.2. <i>Fuel Consumption</i> pada pengapian 10° BTDC.....                              | 23 |
| 4.3.1.3. <i>Specific Fuel Consumption</i> pada pengapian 10° BTDC.                         | 24 |
| 4.3.1.4. Efisiensi Termal, $\eta_{th}$ pada pengapian 10° BTDC.....                        | 25 |
| 4.3.4. Emisi Gas Buang.....  | 26 |

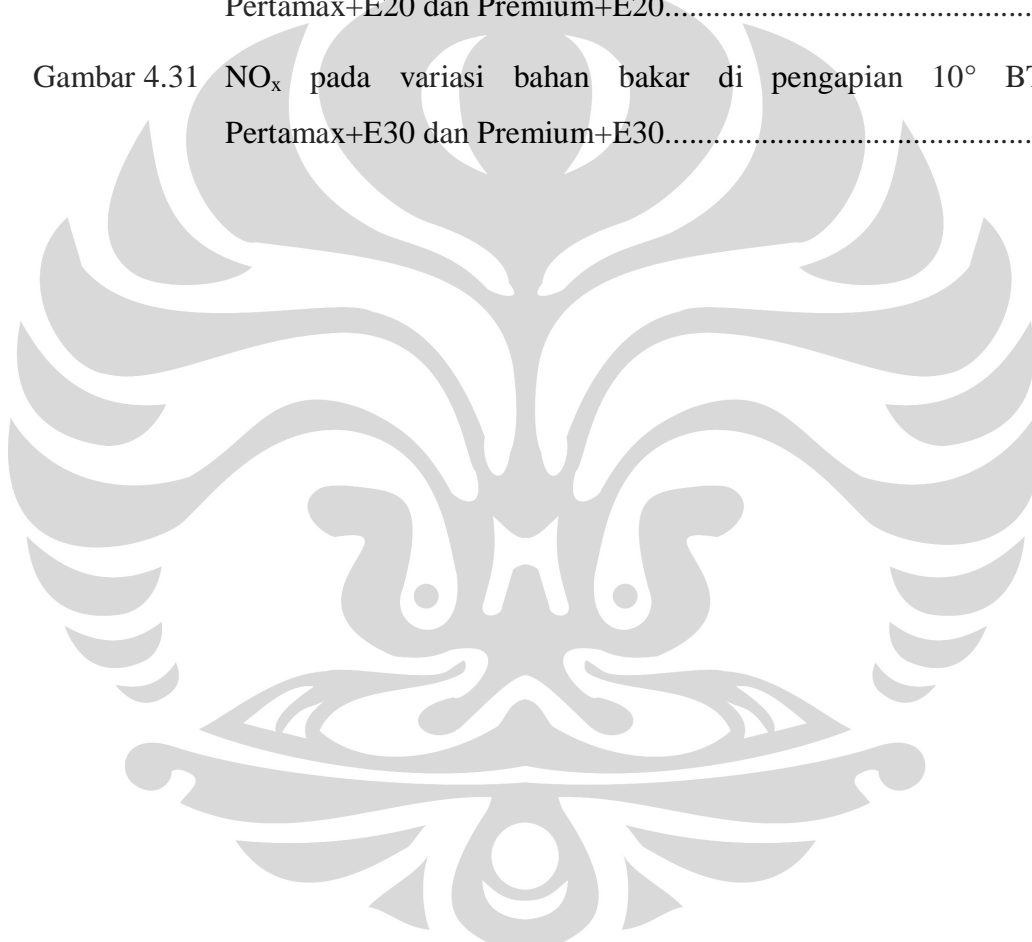
|   |    |
|---|----|
| 4.4.1. Konsentrasi Emisi Karbon Monoksida, CO.....  | 26 |
| 4.4.1.1. CO pada pengapian 10 <sup>0</sup> BTDC.....  | 26 |
| 4.4.2. Konsentrasi Emisi Hidrokarbon, HC.....   | 27 |
| 4.4.2.1. HC pada pengapian 10 <sup>0</sup> BTDC.....  | 27 |
| 4.4.3. Konsentrasi Emisi Nitrogen Oksida, NO <sub>x</sub> .....   | 28 |
| 4.4.3.1. NO <sub>x</sub> pada pengapian 10 <sup>0</sup> BTDC.....   | 28 |
| 4.5. Perbandingan Analisa Unjuk Kerja.....  | 29 |
| 4.5.1. Perbandingan Analisa Daya, FC, dan Effiensi Thermal terhadap waktu Pengapian 10 <sup>0</sup> BTDC antara Pertamax dan Premium..... | 29 |
| 4.5.1.1. Perbandingan Daya pada pengapian 10 <sup>0</sup> BTDC antara Pertamax dan Premium.....   | 29 |
| 4.5.1.2. <i>Fuel Consumption</i> pada pengapian 10 <sup>0</sup> BTDC antara Pertamax dan Premium.....                                     | 32 |
| 4.5.1.3. Efisiensi Termal, $\eta_{th}$ pada pengapian 10 <sup>0</sup> BTDC antara Pertamax dan Premium.....                               | 34 |
| 4.6. Perbandingan Emisi Gas Buang antara Pertamax dan Premium.....  | 37 |
| 4.6.1. Perbandingan Konsentrasi Emisi Karbon Monoksida, CO antara Pertamax dan Premium.....   | 37 |
| 4.6.1.1. Perbandingan CO pada pengapian 10 <sup>0</sup> BTDC antara Pertamax dan Premium.....   | 37 |
| 4.6.2. Perbandingan Konsentrasi Emisi Hidrokarbon, HC antara Pertamax dan Premium.....  | 39 |
| 4.6.2.1. Perbandingan HC pada pengapian 10 <sup>0</sup> BTDC antara Pertamax dan Premium.....   | 39 |
| 4.6.3. Konsentrasi Emisi, NO <sub>x</sub> antara Pertamax dan Premium.....  | 41 |
| 4.6.3.1. Perbandingan NO <sub>x</sub> pada pengapian 10 <sup>0</sup> BTDC antara Pertamax dan Premium.....                                | 41 |
| <b>BAB V KESIMPULAN DAN SARAN</b>   |    |
| 5.1. Kesimpulan.....  | 44 |
| 5.2. Saran-Saran.....   | 45 |
| <b>DAFTAR REFERENSI</b>   | 46 |

## DAFTAR GAMBAR

|             |   |    |
|-------------|---|----|
| Gambar 2.1  | Skema Otto .....  | 5  |
| Gambar 2.2  | Siklus Otto   |    |
|             | (a) <i>actual four-stroke-ignition engine</i> .....                                   | 5  |
|             | (b) ideal Otto cycle.....   | 6  |
| Gambar 2.3  | Sistem Aliran Bahan Bakar.....  | 6  |
| Gambar 2.4  | Fuel Injector.....  | 8  |
| Gambar 2.5  | Fuel Pump.....  | 9  |
| Gambar 2.6  | Diagram Ethanol.....  | 12 |
| Gambar 4.1  | Daya pada variasi bahan bakar di pengapian 10° BTDC.....                              | 22 |
| Gambar 4.2  | <i>FC</i> pada variasi bahan bakar di pengapian 10° BTDC.....                         | 23 |
| Gambar 4.3  | <i>SFC</i> pada variasi bahan bakar di pengapian 10° BTDC.....                        | 24 |
| Gambar 4.4  | $\eta_t$ pada variasi bahan bakar di pengapian 10° BTDC.....                          | 25 |
| Gambar 4.5  | CO pada variasi bahan bakar di pengapian 10° BTDC.....                                | 26 |
| Gambar 4.6  | HC pada variasi bahan bakar di pengapian 10° BTDC.....                                | 27 |
| Gambar 4.7  | NO <sub>x</sub> pada variasi bahan bakar di pengapian 10° BTDC.....                   | 28 |
| Gambar 4.8  | Daya pada variasi bahan bakar di pengapian 10° BTDC Pertamax dan Premium.....         | 29 |
| Gambar 4.9  | Daya pada variasi bahan bakar di pengapian 10° BTDC Pertamax+E10 dan Premium+E10..... | 30 |
| Gambar 4.10 | Daya pada variasi bahan bakar di pengapian 10° BTDC Pertamax+E20 dan Premium+E20..... | 30 |
| Gambar 4.11 | Daya pada variasi bahan bakar di pengapian 10° BTDC Pertamax+E30 dan Premium+E30..... | 31 |
| Gambar 4.12 | <i>FC</i> pada variasi bahan bakar di pengapian 10° BTDC Pertamax dan Premium.....    | 32 |

|             |  |    |
|-------------|--|----|
| Gambar 4.13 | <i>FC</i> pada variasi bahan bakar di pengapian 10° BTDC Pertamax+E10 dan Premium+E10..... | 32 |
| Gambar 4.14 | <i>FC</i> pada variasi bahan bakar di pengapian 10° BTDC Pertamax+E20 dan Premium+E20..... | 33 |
| Gambar 4.15 | <i>FC</i> pada variasi bahan bakar di pengapian 10° BTDC Pertamax+E30 dan Premium+E30..... | 33 |
| Gambar 4.16 | $\eta_t$ pada variasi bahan bakar di pengapian 10° BTDC Pertamax dan Premium.....          | 34 |
| Gambar 4.17 | $\eta_t$ pada variasi bahan bakar di pengapian 10° BTDC Pertamax+E10 dan Premium+E10.....  | 35 |
| Gambar 4.18 | $\eta_t$ pada variasi bahan bakar di pengapian 10° BTDC Pertamax+E20 dan Premium+E20.....  | 35 |
| Gambar 4.19 | $\eta_t$ pada variasi bahan bakar di pengapian 10° BTDC Pertamax+E30 dan Premium+E30.....  | 36 |
| Gambar 4.20 | CO pada variasi bahan bakar di pengapian 10° BTDC Pertamax dan Premium.....                | 37 |
| Gambar 4.21 | CO pada variasi bahan bakar di pengapian 10° BTDC Pertamax+E10 dan Premium+E10.....        | 37 |
| Gambar 4.22 | CO pada variasi bahan bakar di pengapian 10° BTDC Pertamax+E20 dan Premium+E20.....        | 38 |
| Gambar 4.23 | CO pada variasi bahan bakar di pengapian 10° BTDC Pertamax+E30 dan Premium+E30.....        | 38 |
| Gambar 4.24 | HC pada variasi bahan bakar di pengapian 10° BTDC Pertamax dan Premium.....                | 39 |
| Gambar 4.25 | HC pada variasi bahan bakar di pengapian 10° BTDC Pertamax+E10 dan Premium+E10.....        | 39 |
| Gambar 4.26 | HC pada variasi bahan bakar di pengapian 10° BTDC Pertamax+E20 dan Premium+E20.....        | 40 |

|  |    |
|--|----|
| Gambar 4.27 HC pada variasi bahan bakar di pengapian 10° BTDC Pertamax+E30 dan Premium+E30.....              | 40 |
| Gambar 4.28 NO <sub>x</sub> pada variasi bahan bakar di pengapian 10° BTDC Pertamax dan Premium.....         | 41 |
| Gambar 4.29 NO <sub>x</sub> pada variasi bahan bakar di pengapian 10° BTDC Pertamax+E10 dan Premium+E10..... | 42 |
| Gambar 4.30 NO <sub>x</sub> pada variasi bahan bakar di pengapian 10° BTDC Pertamax+E20 dan Premium+E20..... | 42 |
| Gambar 4.31 NO <sub>x</sub> pada variasi bahan bakar di pengapian 10° BTDC Pertamax+E30 dan Premium+E30..... | 43 |



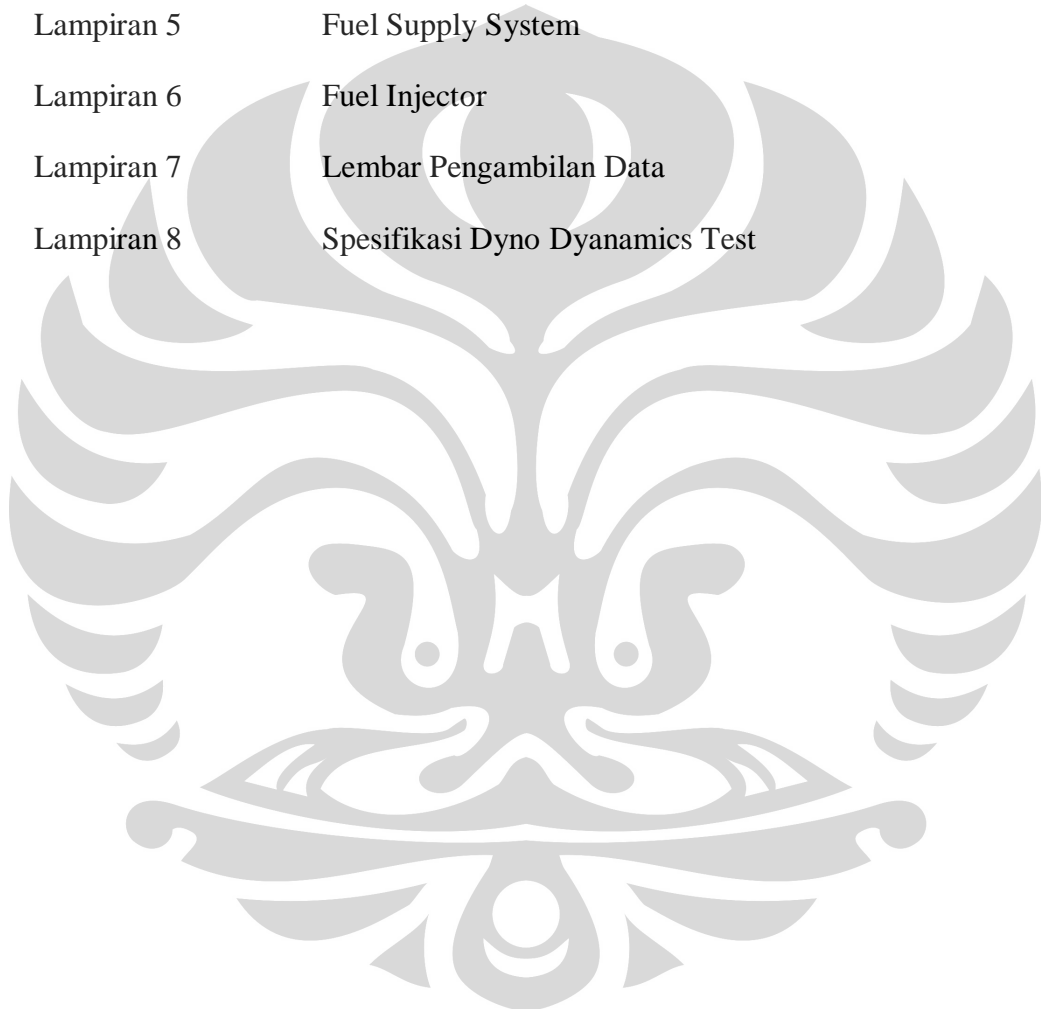
## **DAFTAR TABEL**

|            |  |    |
|------------|--|----|
| Tabel 1.1  | Penggunaan etanol di beberapa negara.....            | 1  |
| Tabel 2.1  | Properti fisik dan kimia dari Bensin dan Etanol..... | 13 |
| Tabel 2.2. | <i>Alternative Fuels</i> .....                       | 14 |



## **DAFTAR LAMPIRAN**

|            |                                       |
|------------|---------------------------------------|
| Lampiran 1 | PGM-FI (Fuel Injection) Spesification |
| Lampiran 2 | PGM –FI System Location               |
| Lampiran 3 | Electronic Control System             |
| Lampiran 4 | Throtle Body Assy                     |
| Lampiran 5 | Fuel Supply System                    |
| Lampiran 6 | Fuel Injector                         |
| Lampiran 7 | Lembar Pengambilan Data               |
| Lampiran 8 | Spesifikasi Dyno Dyanamics Test       |



## BAB I

### PENDAHULUAN

#### 1.1 Latar Belakang

Kelangkaan bahan bakar minyak yang terjadi belakangan ini telah memberikan dampak yang sangat luas di berbagai sektor kehidupan. sektor yang paling cepat terkena dampaknya adalah sektor transportasi. Fluktuasi suplai dan harga minyak bumi menyebabkan kontinuitas penggunaan bahan bakar fosil semakin terancam keberlanjutannya. Selain itu pembakaran bahan bakar fosil ini telah memberikan dampak negatif terhadap lingkungan. Kualitas udara semakin menurun akibat asap pembakaran bahan bakar minyak bumi yang mengandung gas-gas berbahaya seperti CO, NOx, dan UHC (*unburn hydrocarbon*), juga unsur metalik seperti timbal (Pb). Kemudian efek gas rumah kaca yang ditimbulkan oleh gas CO<sub>2</sub> hasil pembakaran minyak bumi yang menyebabkan terjadinya pemanasan global (*global warming*).

Berbagai riset dilakukan untuk mencari sumber energi baru. Sebenarnya di Indonesia terdapat berbagai sumber energi terbarukan yang melimpah, seperti biodiesel dari tanaman jarak pagar, kelapa sawit maupun kedelai. Metanol dan etanol dari biomassa, tebu, jagung, dll yang bisa dipergunakan sebagai pengganti bensin (*gasoline*).

Metanol (methyl alcohol) dan etanol (ethyl alcohol) merupakan dua jenis senyawa alcohol. Penggunaan alkohol sebagai bahan bakar mulai diteliti dan diimplementasikan di USA dan Brazil sejak terjadinya krisis bahan bakar fosil di kedua negara tersebut pada tahun 1970-an. (*Nature, 1 July 2005*)

Tabel 1.1. Penggunaan etanol di beberapa negara

| <b>Negara</b> | <b>Gasohol</b>    | <b>Volume (L/thn)</b> | <b>Keterangan</b>   |
|---------------|-------------------|-----------------------|---|
| Brazil        | E20 s/d E25       | ~ 14 miliar (total)   | program Proalcool, sejak 1975, produsen & pengguna terbesar |
| AS            | E10, E85          | > 6 miliar            | sejak 1978  |
| Colombia      | E10               | 1 miliar (2006)       | sejak 2001  |
| Australia     | E10, E20          | 60 juta               | Penjualan sejak 1992  |
| Swedia        | E5                | 50 juta               | sejak 2000  |
| India         | E5                | 1,3 miliar            | wajib sejak 2003  |
| Thailand      | E10               | 60 juta               | sejak 2002, berencana ekspor                                |
| Jepang        | E3 & E10          | total 7,8 miliar      | (pasar potensial), belum diwajibkan                         |
| Cina          | E10               | 1,48 miliar           | (pasar potensial)   |
| Indonesia     | E-3 (BioPremium)  | ± 4,2 juta            | Agust-06  |
|               | E-3 (BioPertamax) | ± 4,3 juta            | Des-06  |

Di USA, bahan bakar relatif murah, E85, yang mengandung ethanol 85 semakin populer di masyarakat (*Nature*, 1 July 2005).

Dewasa ini, hampir seluruh mesin pembangkit daya yang digunakan pada kendaraan bermotor menggunakan mesin pembakaran dalam. Mesin bensin (Otto) dan diesel adalah dua jenis mesin pembakaran dalam yang paling banyak digunakan di dunia. Mesin diesel, yang memiliki efisiensi lebih tinggi, tumbuh pesat di Eropa, sedangkan komunitas USA yang cenderung khawatir pada tingkat polusi sulfur dan UHC pada diesel, lebih memilih mesin bensin. Meski saat ini, mutu solar dan mesin diesel yang digunakan di Eropa sudah semakin baik yang berimplikasi pada rendahnya emisi sulfur dan UHC. Ethanol yang secara teoritik memiliki angka oktan di atas standard maksimal bensin, cocok diterapkan sebagai substitusi sebagian ataupun keseluruhan pada mesin bensin.

## 1.2 Perumusan Masalah

Perumusan masalah dari percobaan yang akan dilaksanakan adalah sebagai berikut :

1. Bagaimana pengaruh campuran bahan bakar etanol dan pertamax pada waktu pengapian  $10^{\circ}$  terhadap daya yang dihasilkan .
2. Bagaimana pengaruh campuran bahan bakar etanol dan pertamax pada waktu pengapian  $10^{\circ}$  terhadap konsumsi bahan bakar yang dihasilkan.
3. Bagaimana pengaruh campuran bahan bakar etanol dan pertamax pada waktu pengapian  $10^{\circ}$  terhadap effisiensi thermal yang dihasilkan.
4. Bagaimana pengaruh campuran bahan bakar etanol dan pertamax pada waktu pengapian  $10^{\circ}$  terhadap emisi gas buang yang dihasilkan.

### 1.3 Batasan Masalah

Perumusan masalah dari percobaan yang akan dilaksanakan adalah sebagai berikut :

1. Prosentase campuran etanol didalam *pertamax* adalah sebesar 10%, 20% dan 30% berbasis volume.
2. Penelitian hanya dilakukan pada mesin otto 4 langkah 1 silinder fuel injection 125 cc.
3. Bahan bakar gasoline dan etanol yang digunakan untuk riset masing-masing adalah *unleaded gasoline* pertamax dan *anhydrous alcohol* (alkohol dengan kemurnian > 99%)
4. Pengujian karakteristik pembakaran bahan bakar campuran *etanol-pertamax* dilakukan diatas *dynamometer test bench*.
5. pengamatan unjuk kerja mesin meliputi parameter-parameter :
  - Putaran Mesin
  - Daya
  - Konsumsi bahan bakar
  - Konsumsi bahan bakar spesifik
  - Effisiensi thermal
6. Komposisi gas buang yang diukur hanya CO, HC dan NO<sub>x</sub>.
7. Tidak secara khusus meneliti dampak korosi terhadap penggunaan bahan bakar campuran etanol-gasoline pada komponen saluran pasokan bahan bakar dan komponen utama motor Otto.

### 1.4 Tujuan Penelitian

Mendapatkan karakteristik dan parameter pembakaran campuran etanol-pertamax sebagai fungsi dari operasional SIE, yaitu waktu pengapian 10°, bukaan katup pada *full open throttle* dan *compression ratio* tetap.

### 1.5 Manfaat Penulisan

Memberikan pemahaman yang lebih mendalam tentang karakteristik dan proses pembakaran campuran etanol-gasoline pada SIE.

## 1.6 Sistematika Penulisan

Penulisan tugas akhir ini disusun sebagai berikut:

- **BAB I : PENDAHULUAN.**

Bab ini berisi tentang latar belakang masalah, perumusan masalah, batasan masalah, tujuan penelitian dan sistematika penulisan.
- **BAB II : DASAR TEORI**

Bab ini berisi tentang penjelasan umum motor otto, parameter unjuk kerja motor pembakaran dalam, emisi gas buang motor bensin 4-langkah dan bahan bakar uji.
- **BAB III : METODE PENELITIAN**

Bab ini berisi tentang metode dan langkah penelitian, alat pengujian dan cara pengujian.
- **BAB IV : PENGOLAHAN DAN ANALISA DATA**

Bab ini berisi tentang contoh perhitungan dari data-data yang telah diperoleh dari hasil pengujian, dan menganalisisnya untuk mengetahui pengaruh variasi campuran ethanol dan gasoline.
- **BAB V : KESIMPULAN**

Bab ini berisi tentang kesimpulan dari analisa pengaruh perubahan waktu pengapian terhadap unjuk kerja motor berupa daya, konsumsi bahan bakar, konsumsi bahan baker spesifik, effisiensi thermal dan emisi gas buang pada sepeda motor bensin 4-langkah serta saran yang tertuju pada tindak lanjut hasil penelitian.

## BAB II

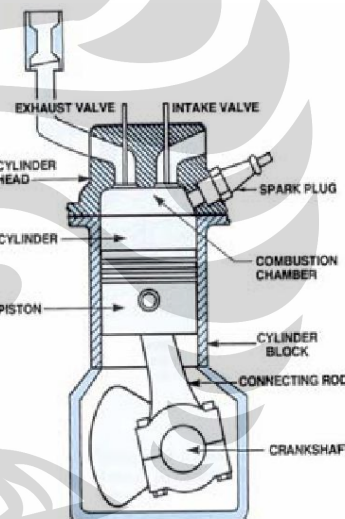
### DASAR TEORI

#### 2.1 Penjelasan umum mesin Otto<sup>[3]</sup>.

Pada motor bakar berdasarkan sistem penyalaannya terbagi spark ignition dan compression ignition. Dan berdasarkan siklus kerjanya terbagi menjadi empat langkah dan dua langkah. Sistem penyalaan atau *spark ignition* ( SI )<sup>[2]</sup> merupakan metode penyalaan bahan bakar dengan bantuan api dari luar. Penyalaan ini menggunakan busi sebagai sumber api. Setelah campuran udara dan bahan bakar mencapai kompresi tertentu, dan dengan tekanan dan temperatur tertentu maka busi dinyalakan sehingga terjadi reaksi pembakaran dan menghasilkan tenaga untuk mendorong torak ke posisi semula.

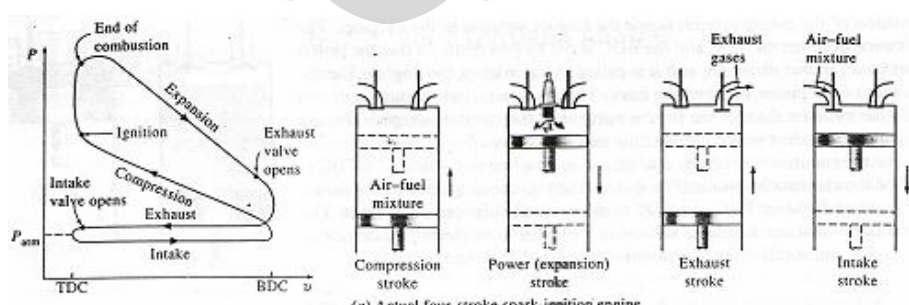
Adapun bagian dari mesin, yaitu:

1. Piston
2. Valve
3. Spark plug
4. Crankshaft
5. Cam
6. Crankshaft
7. Connecting-rod

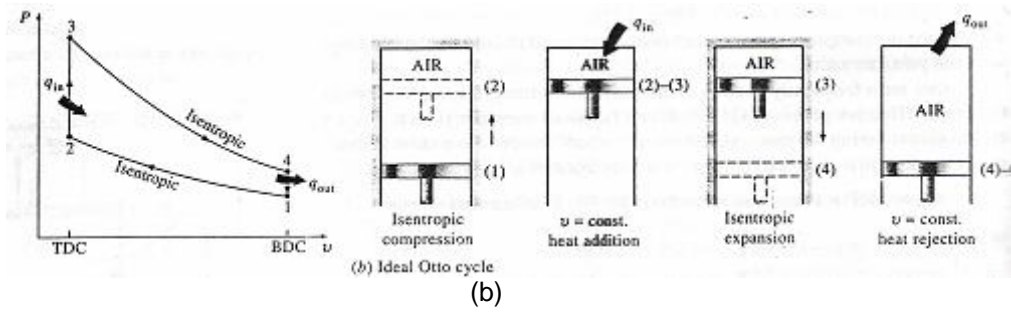


Gambar 2.1 Skema otto  
[1]

Adapun siklus otto yang terjadi pada motor bensin 4 – langkah adalah sebagai berikut:

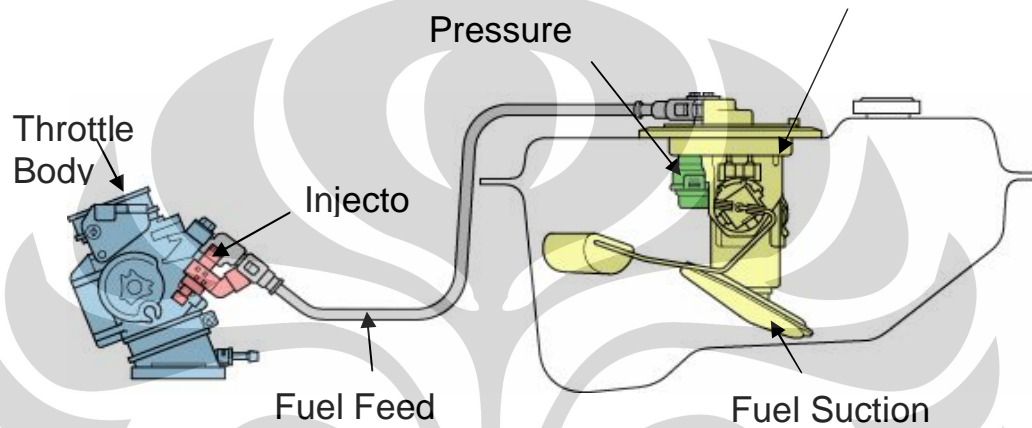


( a )



Gambar 2.2 siklus otto (a) actual four-stroke-ignition engine (b) ideal otto cycle

### Fuel Pump



Gambar 2.3 Sistem Aliran Bahan Bakar<sup>[5]</sup>.

Proses 0 – 1 merupakan langkah hisap bahan bakar dimana piston mulai bergerak dari *TDC* (*top dead centre*) menuju ke *BDC* (*bottom dead centre*) dengan posisi katup hisap terbuka dan katup buang tertutup. Akibat dari langkah piston turun ini maka campuran bahan bakar dengan udara akan terhisap ke dalam ruang bakar.

Proses 1 – 2 merupakan langkah kompresi dimana piston bergerak ke atas lagi menuju *TDC* setelah melakukan langkah hisap dengan posisi katup hisap dan katup buang tertutup. Langkah ini akan menaikkan tekanan pada ruang bakar yang terisi campuran bahan bakar dengan udara menjadi naik.

Proses 2 – 3 merupakan proses pembakaran bahan bakar dimana proses ini terjadi sesaat sebelum akhir dari proses kompresi. Campuran bahan bakar dengan udara yang telah terkompresi mulai terbakar akibat percikan api yang ditimbulkan oleh busi yang terpasang di dinding silinder.

Akibat proses pembakaran ini maka tekanan dan temperatur di ruang bakar menjadi naik tinggi.

Proses 3 – 4 merupakan langkah kerja dari *engine* dimana piston akan bergerak menuju *BDC* akibat dari tekanan yang ditimbulkan proses pembakaran. Pada langkah ini posisi katup hisap dan katup buang masih dalam kondisi tertutup. Selama proses ekspansi ini tekanan dan temperatur mulai turun.

Proses 4 – 0 merupakan langkah buang dimana pada akhir langkah kerja piston, katup buang terbuka dan katup hisap masih tertutup dan piston bergerak menuju ke *TDC* membuang gas pembakaran keluar dari silinder.

### **2.1.1 Mesin bertenorak**

Dalam operasinya mesin ini menggunakan piston sebagai alat untuk mengompresi dan mengekspansi volume ruang bakar. Keunggulan dari mesin piston terletak dari effisiensi bahan bakar dimana reaksi pembakaran yang terjadi tidak bersifat kontinu

### **2.1.2 Single Overhead Cam**

Mesin dengan pengaturan ini memiliki satu cam pada kepalanya. *Cam* menggerakan *rocker arm* yang menekan ke bawah katup, sehingga katup terbuka. Pegas-pegas yang menghubungkan katup dengan rocker arm mengembalikan katup-katup tersebut kedalam posisi tertutup. Pegas-pegas ini harus sangat kuat karena pada kecepatan tinggi, katu-katup tersebut akan terhentak dengan sangat cepat. Jika pegas-pegas tersebut tidak cukup kuat, katup-katup akan terpental dari rocker arm dan menutup kembali dengan keras, sehingga dapat menimbulkan keausan pada *cam* dan *rocker arm*.

### **2.1.3 Pembukaan dan penutupan katup**

Berdasarkan fungsinya, katup merupakan part yang mengatur posisi aliran terhadap waktu. Penggunaan katup secara spesifik akan membagi motor bakar menjadi

### 2.1.3.1 *Intake valve*

Sebagai katup yang mengontrol pemasukan campuran bahan bakar kedalam silinder.

### 2.1.3.2 *Exhaust valve*

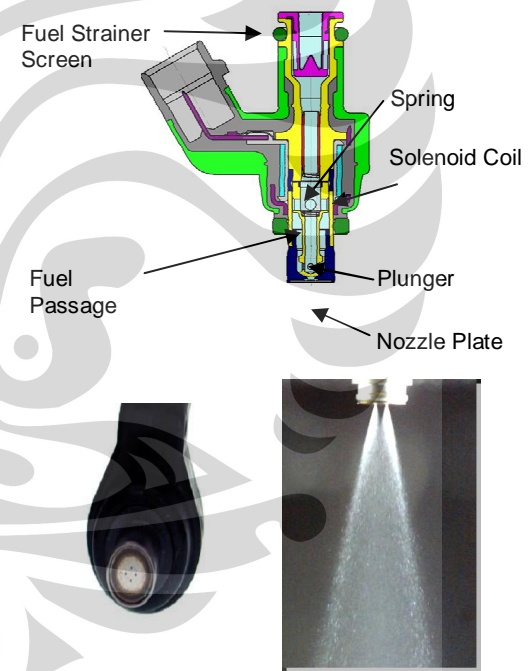
Sebagai katup yang mengontrol pengeluaran hasil pembakaran dari silinder mesin untuk dibuang keluar.

### 2.1.4 Pendinginan udara

Pendinginan dengan menggunakan udara pada prinsipnya adalah udara yang bergerak berlawanan dengan arah kendaraan agar dapat dijaga temperatur ideal pada mesin.

### 2.1.5 Sistem *Fuel Injection*.

Pada motor bakar empat langkah pembentukan campuran udara bahan bakar yang siap terbakar dilakukan di luar ruang bakar melalui proses karburasi tetapi saat ini proses kaburasi sudah banyak diganti dengan sistem injeksi. Dengan menggunakan *fuel injector* bagian terpenting dalam sistem induksi-aliran udara dan sejumlah bahan bakar dirubah menjadi atom-atom untuk menghasilkan campuran bahan bakar-udara yang homogen. *Fuel injector* adalah nosel yang menyemprotkan bahan bakar kedalam udara masuk pada mesin. Adapun pengaturan jumlah bahan bakar yang disemprotkan oleh injektor pada udara yang mengalir ini diatur dengan menggunakan sensor aliran udara (*air flow sensor*).



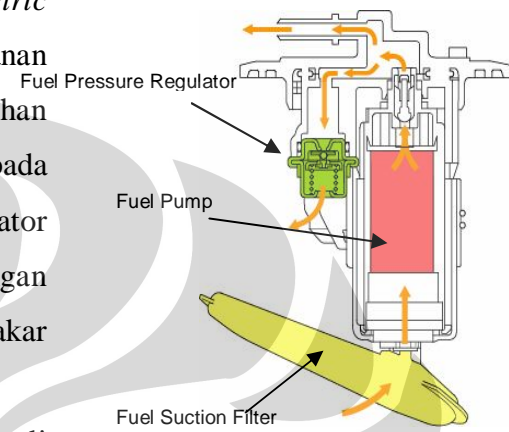
Gambar 2.4 *Fuel Injector*<sup>[5]</sup>

Operasi dari mesin bensin sangat bergantung pada kualitas dan kuantitas campuran bahan bakar–udara yang diinjeksikan ke ruang bakar sehingga *Fuel injector* harus mampu menghasilkan perbandingan bahan bakar–udara yang dibutuhkan pada semua putaran kerja mesin dan beban mesin secara otomatis.

### 2.1.6 Pompa bahan bakar tipe elektrik.

Pompa bahan bakar elektrik (*electric fuel pump*) menghasilkan tekanan. Tekanan bahan bakar di dalam sistem aliran bahan bakar diatur oleh Pressure Regulator pada 294kPa (3.0 kgf/43 psi). Pressure Regulator mengembalikan bahan bakar dengan membuka katup saat tekanan bahan bakar melebihi tekanan atur

Umumnya pompa ini dipasangkan di dalam tangki (*in-tank type*) atau disekitar saluran bahan bakar (*in-line type*). Bahan bakar ditekan oleh rotor atau turbin, sehingga pompa bahan bakar tetap dapat mengirimkan bahan bakar walaupun mesin dalam kondisi mati.



Gambar 2.5 Fuel Pump<sup>[5]</sup>

### 2.1.7 Electronic ignition (EI)

Pada sistem EI, kontak menggunakan angular sensor. Output dari sensor diproses oleh sirkuit yang sesuai dengan sensor yang bersangkutan kemudian di-trigger oleh suatu alat yang bernama *thyristor* dimana mengalir arus yang cukup besar melewati koil.

## 2.2 Parameter Unjuk Kerja Motor Pembakaran Dalam<sup>[1]</sup>.

Parameter unjuk kerja suatu motor pembakaran pada SIE adalah sebagai berikut:

### 2.2.1. Daya

Tujuan utama dari penggunaan suatu *engine* adalah daya (*brake horse power, bhp*). Daya didefinisikan sebagai laju kerja dan sama dengan perkalian

antara gaya dengan kecepatan linear atau torsi dengan kecepatan angular. Sehingga dalam pengukuran daya melibatkan pengukuran gaya atau torsi dan kecepatan. Pengukuran dilakukan dengan menggunakan dinamometer dan *tachometer* atau alat lain dengan fungsi yang sama.

$$\text{Daya (Bhp)} = \frac{2\pi \cdot n \cdot T}{60.75} \text{ [HP].}$$

### 2.2.2. Konsumsi Bahan Bakar Spesifik

Konsumsi bahan bakar spesifik (*specific fuel consumption, SFC*) didefinisikan sebagai konsumsi bahan bakar (*fuel consumption, FC*) yang dipakai untuk menghasilkan satu satuan daya dalam waktu satu jam dan dirumuskan sebagai :

$$SFC = \frac{FC}{BHP} \text{ [L/HP.h].}$$

Dimana untuk FC dapat dirumuskan sebagai:

$$FC = \frac{V_f \times 3600}{t \times 1000} \text{ [L/h]}$$

### 2.2.3. Effisiensi Thermal, $\eta_{th}$

Effisiensi thermal merupakan rasio antara output *engine* terhadap energi kimia yang tersimpan di dalam bahan bakar. Sehingga effisiensi thermal merupakan ukuran besarnya pemanfaatan energi panas (*thermodynamic input*) bahan bakar untuk diubah menjadi daya efektif (*mechanical work*) oleh motor pembakaran dalam. Secara teoritis dituliskan dalam persamaan:

$$\eta_{th} = \frac{BHP}{FC \cdot Q_{HV} \rho_f} \times 632 \times 100 \text{ (%)}$$

## 2.3. Emisi Gas Buang Motor Bensin.<sup>[2]</sup>

Bahan bakar bensin mengandung campuran dari beberapa hidrokarbon dan jika terbakar secara sempurna, pada gas buang hanya akan mengandung karbon dioksida ( $CO_2$ ) dan uap air ( $H_2O$ ) serta udara yang tidak ikut dalam proses pembakaran. Namun untuk beberapa alasan, pembakaran yang terjadi adalah tidak

sempurna dan akan menghasilkan karbon monoksida (CO), gas beracun yang mematikan dan hidrokarbon yang tidak terbakar (*Unburned Hidrocarbon, UBHC*) pada gas buang. Disamping CO dan HC, emisi utama yang ketiga adalah oksida dari nitrogen ( $\text{NO}_x$ ) yang terbentuk oleh reaksi antara nitrogen dengan oksigen karena temperatur pembakaran yang tinggi, yaitu lebih dari  $1100^\circ\text{C}$ .

### 2.3.1. Karbon Monoksida, CO

Karbon monoksida merupakan gas yang tidak berwarna dan tidak berbau dan gas beracun. Gas ini timbul pada saat kondisi campuran di dalam mesin kaya. Dimana tidak tersedianya cukup oksigen untuk membentuk CO menjadi  $\text{CO}_2$ , sehingga beberapa carbon berakhir menjadi CO. Biasanya untuk mesin bensin kadarnya 0,2% - 0,5%. Kekuatannya berikatan dengan *hemoglobin* di dalam darah sangat lebih kuat daripada oksigen. Bahkan konsentrasi yang rendah pun dapat menyebabkan terjadinya *sufokasi*. Konsentrasi di dalam udara maksimal yang diijinkan adalah  $33 \text{ mg/m}^3$ .

Jumlah oksigen dalam campuran (*A/F ratio*) juga sangat menentukan besar CO yang dihasilkan, mengingat kurangnya oksigen dalam campuran akan mengakibatkan karbon bereaksi tidak sempurna dengan oksigen (sehingga terbentuk CO). Carbon monoksida juga cenderung timbul pada temperatur pembakaran yang tinggi. Meskipun pada campuran miskin (mempunyai cukup oksigen) jika temperatur pembakaran terlalu tinggi, maka oksigen yang telah terbentuk dalam karbon dioksida bisa berdisosiasi (melepaskan diri) membentuk carbon monoksida dan oksigen.

### 2.3.2. Nitrogen Oksida, $\text{NO}_x$

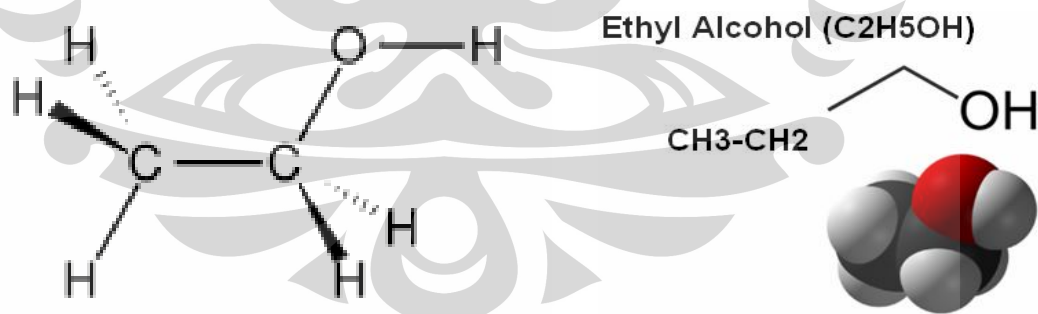
Nitrogen monoksida (NO) yang terkandung di dalam gas buang kendaraan bermotor menjadi nitrogen dioksida ( $\text{NO}_2$ ) yang lebih reaktif, dan reaksi kimia antara berbagai oksida nitrogen dengan senyawa hidrokarbon yang menghasilkan ozon dan oksida lain, yang dapat menyebabkan asap awan fotokimi (*photochemical smog*). Pembentukan *smog* ini kadang tidak terjadi di tempat asal sumber (kota), tetapi dapat terbentuk di pinggiran kota. Jarak pembentukan *smog* ini tergantung pada kondisi reaksi dan kecepatan angin.

### 2.3.3. Hidrokarbon, HC

Untuk bahan pencemar yang sifatnya lebih stabil seperti beberapa hidrokarbon-halogen dan hidrokarbon poliaromatik, dapat jatuh ke tanah bersama air hujan atau mengendap bersama debu, dan mengkontaminasi tanah dan air. Senyawa tersebut selanjutnya juga dapat masuk ke dalam rantai makanan yang pada akhirnya masuk ke dalam tubuh manusia melalui sayuran, susu ternak, dan produk lainnya dari ternak hewan. Karena banyak industri makanan saat ini akan dapat memberikan dampak yang tidak diinginkan pada masyarakat kota maupun desa.

### 2.4. Bahan Bakar<sup>[6]</sup>

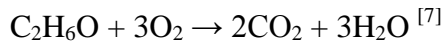
Dewasa ini, hampir seluruh mesin pembangkit daya yang digunakan pada kendaraan bermotor menggunakan mesin pembakaran dalam. Mesin bensin (Otto) dan diesel adalah dua jenis mesin pembakaran dalam yang paling banyak digunakan di dunia. Mesin diesel, yang memiliki efisiensi lebih tinggi, tumbuh pesat di Eropa, sedangkan komunitas USA yang cenderung khawatir pada tingkat polusi sulfur dan UHC pada diesel, lebih memilih mesin bensin. Meski saat ini, mutu solar dan mesin diesel yang digunakan di Eropa sudah semakin baik yang berimplikasi pada rendahnya emisi sulfur dan UHC.



Gambar 2.6 Diagram Etanol<sup>[8]</sup>



Selama proses pembakaran etanol bereaksi dengan oksigen untuk memproduksi karbon dioksida, air dan panas



Ethanol yang secara teoritik memiliki angka oktan di atas standard maksimal bensin, cocok diterapkan sebagai substitusi sebagian ataupun keseluruhan pada mesin bensin. Bensin premium memiliki angka oktan 88. Tetapi bensin premium bisa ngejos seperti pertamax dengan tambahan etanol 99%, karena etanol memiliki angka oktan 117. Caranya, campurkan sekian persen bensin premium dengan sekian persen etanol. Misalnya campuran 1 : 9, di mana 10% etanol ditambahkan ke 90% premium. Ambil 10 ml etanol dengan 90 ml premium menjadi 1 liter bensol (bensin - etanol), maka angka oktan menjadi 10% X 117 + 90% X 88 = 90,9 atau mendekati pertamax. Pencampuran antara premium dengan etanol bisa dilakukan dengan rasio yang berbeda. Hanya saja diperlukan kehati-hatian untuk kendaraan berumur di bawah tahun 2000. Etanol memiliki sifat melarutkan karet, sehingga mengancam kekuatan seal (sil) klep

Tabel 2.1. Properti fisik dan kimia dari Bensin dan Etanol

| Properti Bahan Bakar          | Gasoline                       | Ethanol                          | Methanol           |
|-------------------------------|--------------------------------|----------------------------------|--------------------|
| Rumus molekul                 | C <sub>8</sub> H <sub>18</sub> | C <sub>2</sub> H <sub>5</sub> OH | CH <sub>3</sub> OH |
| SG                            | 0,72                           | 0,79                             | 0,796              |
| Stoichiometeri A/F Ratio      | 14,5                           | 9                                | 6,45               |
| Berat Molekul                 | 100                            | 46                               | 32,04              |
| RON                           | 88 -100                        | 108                              | 108,7              |
| MON                           | 80 - 90                        | 89,7                             | 88,6               |
| Komposisi Carbon % berat      | 84                             | 52                               | 37,5               |
| Komposisi Hidrogen %berat     | 16                             | 13                               | 12,06              |
| Komposisi Oksigen % berat     | -                              | 35                               | 49,9               |
| Low Heating Value MJ/kg       | 28                             | 18                               | 15,8               |
| Laten Heat Vaporization KJ/kg | 349                            | 923                              | 1178               |
| Autoignition Temperature, C   | 257                            | 423                              | 464                |
| Viscosity, mPa·s @ 38 0 C     | 0,37-0,44                      | 1,19                             | 0,59               |

Jika menggunakan etanol murni sebagai bahan bakar akan rawan terjadi keausan pada dinding silinder dan ring piston. Oli yang melapisi *engine* dapat tersapu oleh cairan etanol selama *cold starting* sehingga menimbulkan kontak antar material. Keausan juga dapat terjadi karena pembentukan asam format

selama proses pembakaran yang langsung menyerang material sehingga menyebabkan korosi. Untuk mencegah atau mengurangi keausan material di atas maka dilakukan pelapisan dengan chrom atau dengan menambahkan bahan additive.

Tabel 2.2. Alternative Fuels

| Fuel   | Energy content<br>kJ/L | Gasoline equivalence,*<br>L/L-gasoline |
|--|------------------------|--|
| Gasoline   | 31,850                 | 1                                      |
| Light diesel   | 33,170                 | 0.96                                   |
| Heavy diesel   | 35,800                 | 0.89                                   |
| LPG (Liquefied petroleum gas,<br>primarily propane)            | 23,410                 | 1.36                                   |
| Ethanol (or ethyl alcohol)                                     | 29,420                 | 1.08                                   |
| Methanol (or methyl alcohol)                                   | 18,210                 | 1.75                                   |
| CNG (Compressed natural gas,<br>primarily methane, at 200 atm) | 8,080                  | 3.94                                   |
| LNG (Liquefied natural gas,<br>primarily methane)              | 20,490                 | 1.55                                   |

## **BAB III**

### **METODE PENELITIAN**

#### **3.1 Penelitian**

Untuk mencapai tujuan yang ingin dicapai maka dalam penelitian ini akan digunakan metode penelitian eksperimental yaitu metode yang dapat dipakai untuk menguji pengaruh dari suatu perlakuan atau desain baru dengan cara membandingkan satu atau lebih kelompok dengan perlakuan baru dengan satu atau lebih kelompok lain tanpa perlakuan sebagai control atau pembanding.

Pada eksperimen ini pengujian dilakukan dengan memvariasikan putaran motor (*variable speed*). Jenis pengujian yang dilakukan adalah uji dyno dynamics, dimana unit motor (*rear wheel*) dihubungkan langsung dengan *roll dynamometer*. Dan untuk rangka motor diikat pada *support chassis dyno dynamics*.

#### **3.2 Tempat dan Alat Penelitian**

Penelitian ini dilakukan di Pengujian dilakukan di workshop dyno dynamics division, PT. Khatulistiwa Surya Nusa, Jakarta.

sedangkan peralatan utama yang digunakan adalah :

1. *Engine Honda Supra X 125 cc*, dengan spesifikasi: <sup>[8]</sup>

- Tipe mesin : 4-Langkah, 1 silinder, SOHC, berpendingin udara
- Diameter x langkah : 52,4 x 57,9 mm
- Volume langkah : 124,8 cc
- Perbandingan kompresi : 9,0 : 1
- Sistem pemasukan : *Injection*
- Torsi maksimum : 0,99 kgf.m / 7000 rpm
- Daya maksimum : 9,8 PS / 7500 rpm
- Sistem pengapian : Full transistorized
- Kopling otomatis : Otomatis setrifugal
- Gigi transmisi : Kecepatan bertautan tetap
- Pola pengoperan gigi : N-1-2-3-4 (rotary)
- Kapasitas minyak pelumas : 0,7 liter pada pergantian periodic
- Starter : Pedal dan elektrik

- Aki : 12V – 3,5 Ah
- Busi : ND U20EPR9 / NGK CPR6EA-9

2. Dinamometer, DYNODYNAMICS

- Range operasi : 16000 rpm.
- Sistem pengukuran torsi : *electric*.
- Kontrol : Beban dan katup (*throttle*).

3. Motor vehicle exhaust gas analyzer.

- Merek : TECNOTECH
- Model : 488
- Range CO meter : 0 – 9,99 % vol.
- Range CO<sub>2</sub> : 0 – 19,99 % vol.
- Range HC meter : 0 – 4 % vol.
- Range Nox : 0 - 2000 ppm vol.

4. Tabung ukur.

- Kapasitas : 50 ml.
- Akurasi : 1 ml

5. Primary fuel tank

6. Sub tank (ethanol, 10%, 20%, 30%)

7. Digital stop watch.

8. Blower 12 inch (AC 220V).

9. Papan dan lembar pengambilan data

Persiapan selanjutnya adalah setting alat uji dan alat ukur pada bangku uji sebagai berikut:

1. Pengecekan terhadap kondisi kerja dari motor uji Honda Supra X 125 cc pada masing-masing waktu pengapian: 10° sebelum TMA.
2. Memasang support *chassis dyno dynamics* ke frame motor uji.
3. Menjalankan mesin uji pada kondisi yang akan dipakai dalam pengambilan data dari putaran kerja 4000 rpm hingga putaran kerja 8000 rpm dengan mengatur pembebanan pada dinamometer.

### 3.3 Prosedur Pengujian

Setelah *engine* dan semua alat ukur terpasang dengan baik maka dilanjutkan dengan melakukan pengujian sebagai berikut:

1. *Engine* dihidupkan.
2. Menghidupkan *blower* untuk pendinginan *engine* untuk menghindari terjadinya *over heat*.
3. Melakukan pemanasan *engine* pada kondisi *idle* untuk mencapai kondisi operasional dari *engine* selama 5 menit.
4. Mencatat temperatur dan kelembaban udara lingkungan.
5. Menaikkan putaran *engine* sampai kondisi *half open throttle* tercapai.
6. Pembebanan dilakukan dengan mengatur bukaan katup air secara perlahan-lahan hingga dicapai putaran kerja 3500 rpm kemudian mencatat pembacaan alat ukur: beban (N), temperatur (°C), emisi gas buang CO (%) NO<sub>x</sub> (ppm) dan HC (ppm) serta waktu (detik) untuk mengkonsumsi 10 ml bahan bakar.
7. Ulangi langkah ke – 6 dengan terlebih dahulu menaikkan putaran kerja sebesar 4000 rpm. Langkah ini dilaksanakan sampai dengan putaran kerja mesin sebesar 7000 rpm Pengujian dimulai dengan pengujian standar menggunakan bensin pertamax.
8. Setelah pengujian standar selesai, dilanjutkan dengan pengujian modifikasi menggunakan bensin ethanol dengan langkah yang sama seperti diatas (no.1 sampai dengan no. 7) dan waktu pembakarannya dilakukan di 10°.

Untuk setiap akhir dari pengujian masing-masing kelompok, maka *engine* yang dipakai sebagai alat uji dimatikan dengan cara sebagai berikut:

1. Posisikan teach pendant dyno test pada posisi off
2. Bukaan katup dikembalikan pada kondisi *idle*.
3. Setelah kondisi *idle* tercapai *engine* dimatikan.
4. Setelah 1-2 menit baru blower pendingin *engine* dimatikan.

### 3.4 Sistematika Penelitian

Dalam pelaksanaanya penelitian ini dilakukan dengan langkah-langkah sebagai berikut :

- a. Study literature, bertujuan untuk mendapatkan berbagai macam informasi dan data yang berkaitan dengan obyek penelitian, misalnya cara kerja dan parameter unjuk kerja motor bensin 4 langkah dan karakteristik atau spesifikasi teknis bahan bakar pertamax - etanol.
- b. Melakukan pengujian di dyno dynamics untuk mendapatkan data-data mengenai
  - Torsi
  - Daya
  - Konsumsi bahan bakar
  - Kandungan unsur-unsur gas buang, CO, NO<sub>x</sub> dan HC
- c. Analisa data, dalam hal ini akan dilakukan perhitungan-perhitungan berdasarkan data-data hasil pengujian yang meliputi:
  - Konsumsi bahan bakar
  - Konsumsi bahan bakar spesifik
  - Efisiensi termalYang selanjutnya disajikan dalam tabel-tabel dan grafik untuk memudahkan analisa.
- d. Pembahasan dan evaluasi perbandingan, dalam tahap ini akan dilakukan pembahasan serta evaluasi perbandingan terhadap hasil-hasil yang didapat.
- e. Kesimpulan

## **BAB IV**

### **PENGOLAHAN DAN ANALISA DATA**

#### **4.1 Data Hasil Penelitian**

Mesin Supra X 125 cc PGM FI yang akan digunakan sebagai alat uji dirancang untuk penggunaan bahan bakar bensin. Mesin ini menggunakan sistem pengapian *Full transistorized*. Adapun waktu pengapian yang dianalisa yakni pada kondisi  $10^\circ$ , *Before Top Dead Center* (BTDC). Data lengkap hasil pengujian untuk bahan bakar bensin pertamax, E10, E20 dan E30 dapat dilihat pada lampiran.

##### **4.1.1. Spesifikasi data alat uji**

Untuk menghitung unjuk kerja diperlukan data-data sebagai berikut :

###### **4.1.1.1 Data Engine:** <sup>[8]</sup>

- |                      |   |            |
|----------------------|---|------------|
| 1. Jumlah silinder   | : | 1 silinder |
| 2. Diameter silinder | : | 52,4 mm    |
| 3. Langkah, s        | : | 57,9 mm    |
| 4. Rasio kompresi, r | : | 9,0 : 1    |
| 5. Volume langkah    | : | 124 cc     |

###### **4.1.1.2. Data Bahan bakar** <sup>[10]</sup>

1. Bahan bakar bensin pertamax
  - Lower Heat value, LHV : 11088.4 kkal/kg
  - Density,  $\rho$  ( $15^\circ$ , 1,013 bar) : 0,772 kg/L
  - Stoich Air/fuel Ratio, A/F : 14,6
2. Bahan bakar E10
  - Lower Heat value, LHV : 10621.9 kkal/kg
  - Density,  $\rho$  ( $15^\circ$ , 1,013 bar) : 0,775 kg/L
  - Stoich Air Fuel Ratio, A/F : 14,31
3. Bahan bakar E20
  - Lower Heat value, LHV : 10155.5 kkal/kg
  - Density,  $\rho$  ( $15^\circ$ , 1,013 bar) : 0,777 kg/L

- Stoich Air/fuel Ratio, A/F : 14

#### 4. Bahan Bakar E30

- Lower Heat value, LHV : 9688.9 kkal/kg
- Density,  $\rho$  ( $15^\circ$ , 1,013 bar) : 0,778 kg/L
- Stoich Air/fuel Ratio, A/F : 13,75

### 4.2. Perhitungan data<sup>[10]</sup>

#### 4.2.1. Brake Horse Power (Bhp)

Untuk mengetahui daya efektif digunakan persamaan sebagai berikut :

$$\text{Daya (Bhp)} = \frac{2\pi \cdot n \cdot T}{60.75} \quad [\text{HP}].$$

Dimana:

BHP = Brake Horse Power (HP)

T = Torsi Mesin (kgf.m)

n = Putaran motor [rpm].

$$\text{Dimana } T = \frac{BHP \cdot 60.75}{2\pi \cdot n}$$

misalkan pada putaran 4000 rpm daya yang terbaca 2.163HP maka torsinya adalah :

$$\begin{aligned} \text{Torsi} &= \frac{2.163HP \times 60 \times 75}{2\pi \times 4000} \quad [\text{kgf.m}] \\ &= 0.39 \text{ kgf.m} \end{aligned}$$

#### 4.2.2. Fuel Consumption (FC)

Untuk mengetahui *fuel consumption* digunakan persamaan sebagai berikut :

$$FC = \frac{V_f \times 3600}{t \times 1000} \quad [\text{L/h}].$$

Dimana:

FC = *Fuel Consumption* (L/h)

$V_f$  = Volume konsumsi (mL)

t = Waktu konsumsi [s].

misalkan pada putaran 4000 rpm untuk volume pertamax 26 ml waktu yang dibutuhkan 60 s maka *fuel consumption*-nya adalah :

$$\begin{aligned} FC &= \frac{26ml \times 3600}{60s \times 1000} \text{ [L/h].} \\ &= 1,56 \text{ L/h} \end{aligned}$$

#### 4.2.3. Specific Fuel Consumption (SFC)

Untuk mengetahui *specific fuel consumption* digunakan persamaan sebagai berikut :

$$SFC = \frac{FC}{BHP} \text{ [L/HP.h].}$$

SFC = *Specific Fuel Consumption* (L/h)

FC = *Fuel Consumption* (L/h)

BHP = Brake Horse Power (HP)

misalkan pada putaran 4000 rpm untuk fuel consumption 1,56 L/h dan daya yang dihasilkan 2,163 HP maka *specific fuel consumption*-nya adalah :

$$SFC = \frac{1,56L/h}{2,163HP} \text{ [L/HP.h].}$$

$$SFC = 0,721 \text{ L/HP.h}$$

#### 4.2.4. Efisiensi Thermal ( $\eta_{th}$ )

Untuk menghitung efisiensi thermal ( $\eta_{th}$ ) digunakan persamaan yaitu :

$$\eta_{th} = \frac{BHP}{FC.Q_{HV}\rho_f} \times 632 \times 100 \text{ (%)}$$

misalkan pada putaran 4000 rpm untuk fuel consumption 1,56 L/h dan daya yang dihasilkan 2,163 HP maka *specific fuel consumption*-nya adalah :

Note:  $Q_{HV} = 11088 \text{ kkal/kg}$

$$\rho_f = 0.74 \text{ kg/L}$$

$$\eta_{th} = \frac{2,163HP}{1,56L/h.11088kkal/kg.0,74kg/L} \times 632 \times 100 \text{ (%)}$$

$$\eta_{th} = 10,68 \%$$

### 4.3. Analisa unjuk kerja

Seperti yang telah dijelaskan pada bab sebelumnya untuk mengetahui karakteristik pembakaran dari suatu motor pembakaran dalam diperlukan

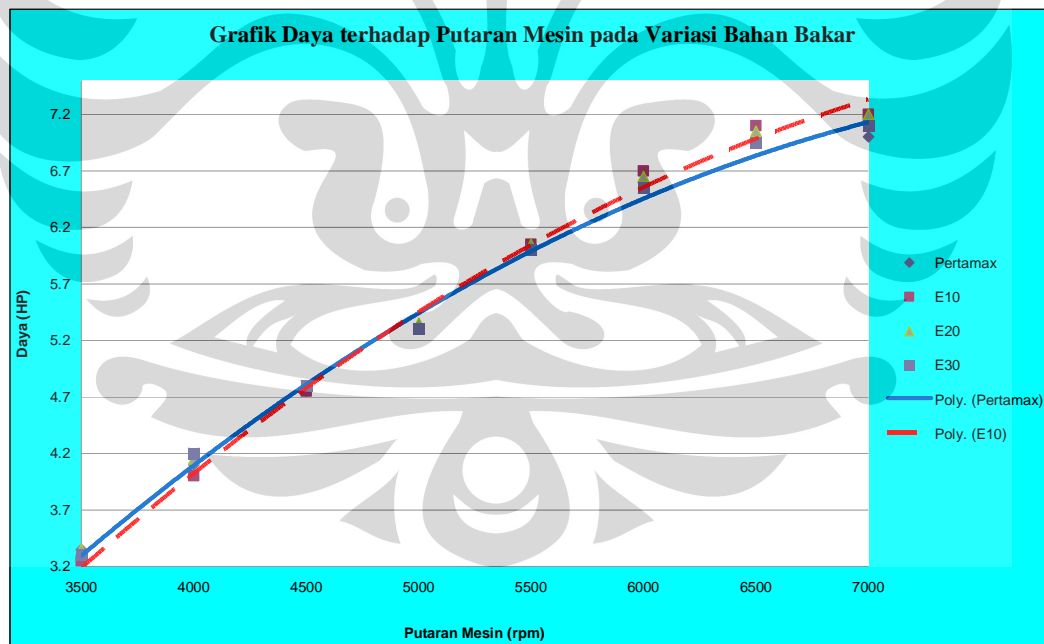
beberapa parameter unjuk kerja, antara lain daya, FC, SFC dan effisiensi thermal. Untuk mempermudah analisa data-data hasil penelitian dimodelkan dalam bentuk grafik

#### **4.3.1. Analisa Daya, SFC, FC dan Effisiensi Thermal terhadap Waktu Pengapian $10^0$ BTDC**

Dari hasil perhitungan dan pengujian dapat diketahui besarnya pengaruh waktu pengapian terhadap parameter-parameter unjuk kerja mesin yang optimal. Dan untuk perbandingan berikutnya diambil data dari pengujian *full open throttle (FOT)*.

##### **4.3.1.1. Daya pada pengapian $10^0$ BTDC**

Hasil dari pengukuran daya dapat langsung terbaca dari *dyno dynamics test*. Dari data tersebut lalu dipindahkan dalam bentuk grafik daya.



Gambar 4.1 Daya pada variasi bahan bakar di pengapian  $10^0$  BTDC

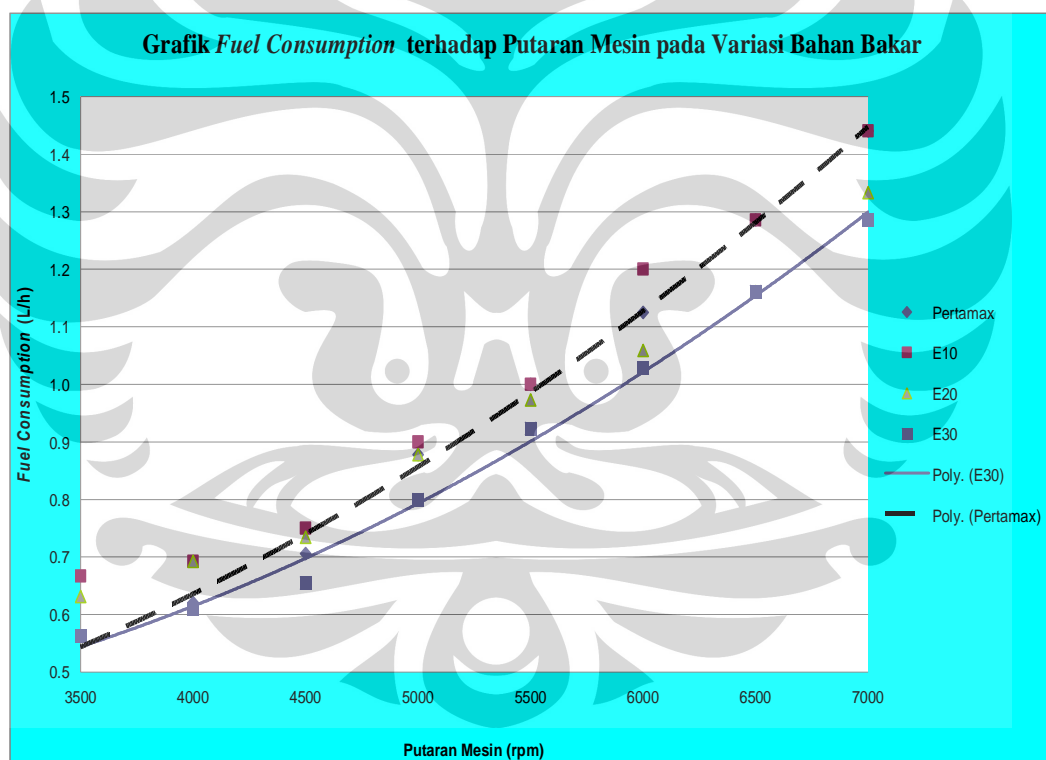
Grafik daya di atas (gambar 4.1) menunjukkan bahwa dengan waktu pengapian  $10^0$  BTDC daya yang dihasilkan dari 3500 sampai 7000 rpm oleh mesin, tidak ada perubahan daya yang significant bahkan cenderung hampir sama

dan bila dibandingkan dengan pertamax daya yang dihasilkan naik rata-rata 0.24%. Hal ini menunjukkan bahwa untuk pengapian  $10^0$  BTDC tidak ada perubahan daya yang significant bahkan cenderung sama untuk semua variasi bahan bakar.

Penelitian sebelumnya umumnya menggunakan *Carburater Engine*. Daya yang dihasilkan mengalami kenaikan karena perubahan RON diikuti dengan perubahan rasio kompresi ruang bakar atau waktu pengapian. Jika tidak merubah waktu pengapian atau rasio kompresi maka daya yang diperoleh cenderung turun.

#### 4.3.1.2. *Fuel Consumption* pada pengapian $10^0$ BTDC

Data konsumsi bahan bakar dari variasi bahan bakar pada waktu pengapian  $10^0$  BTDC (standar) ditunjukkan pada grafik dibawah ini (gambar 4.2).



Gambar 4.2 *Fuel Consumption* pada variasi bahan bakar di pengapian  $10^0$  BTDC

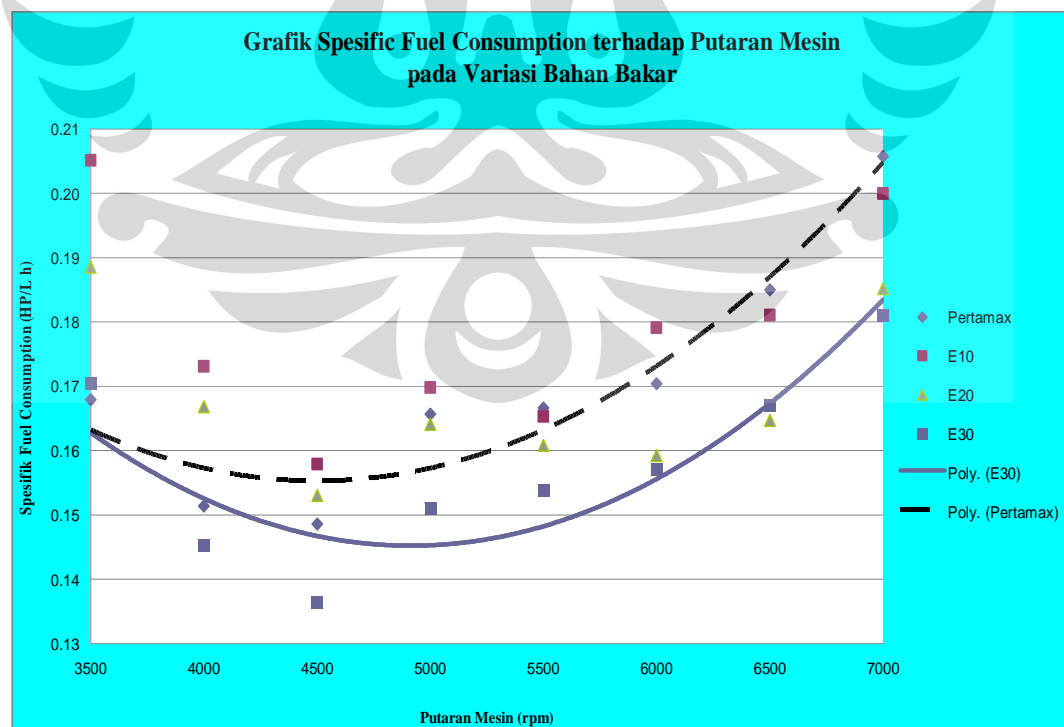
Dapat dilihat pada gambar 4.2 untuk Pertamax dan E10 konsumsi bahan bakar cenderung meningkat seiring dengan peningkatan putaran mesin, untuk Pertamax terjadi peningkatan konsumsi bahan bakar pada putaran 5000 sampai 7000 rpm dan cenderung turun pada putaran 3500 sampai 5000 rpm. Sedangkan untuk E10

terjadi peningkatan konsumsi bahan bakar pada semua putaran 3500 sampai 7000 rpm. Pada E20 dan E30 konsumsi bahan bakar meningkat stabil sesuai kenaikan putaran mesin 3500 sampai 7000 rpm. Hal ini menunjukkan bahwa terjadi kestabilan konsumsi bahan bakar dengan adanya campuran etanol. Dan konsumsi bahan bakar terbaik terjadi pada campuran pertamax 70% dengan etanol 30% dengan penurunan *fuel consumption* senilai 7.4%.

Pada mesin injeksi jumlah bahan bakar yang masuk dalam ruang bakar diatur oleh ECM. EOT (Engine Out put Temperature) sensor memberikan input ke ECM untuk mengurangi suplai bahan bakar agar tidak terjadi over heat pada mesin. *Fuel consumption* pada campuran Pertamax-Etanol lebih sedikit dibandingkan dengan Pertamax disebabkan oleh panas tinggi yang ditimbulkan Etanol.

#### 4.3.1.3. *Specifik Fuel Consumption* pada pengapian $10^0$ BTDC

Dari hasil perhitungan fuel consumption berbanding dengan daya yang dihasilkan maka didapat *spesific fuel consumption*. Dan hasil perhitungan tersebut ditampilkan pada grafik dibawah (gambar 4.3).

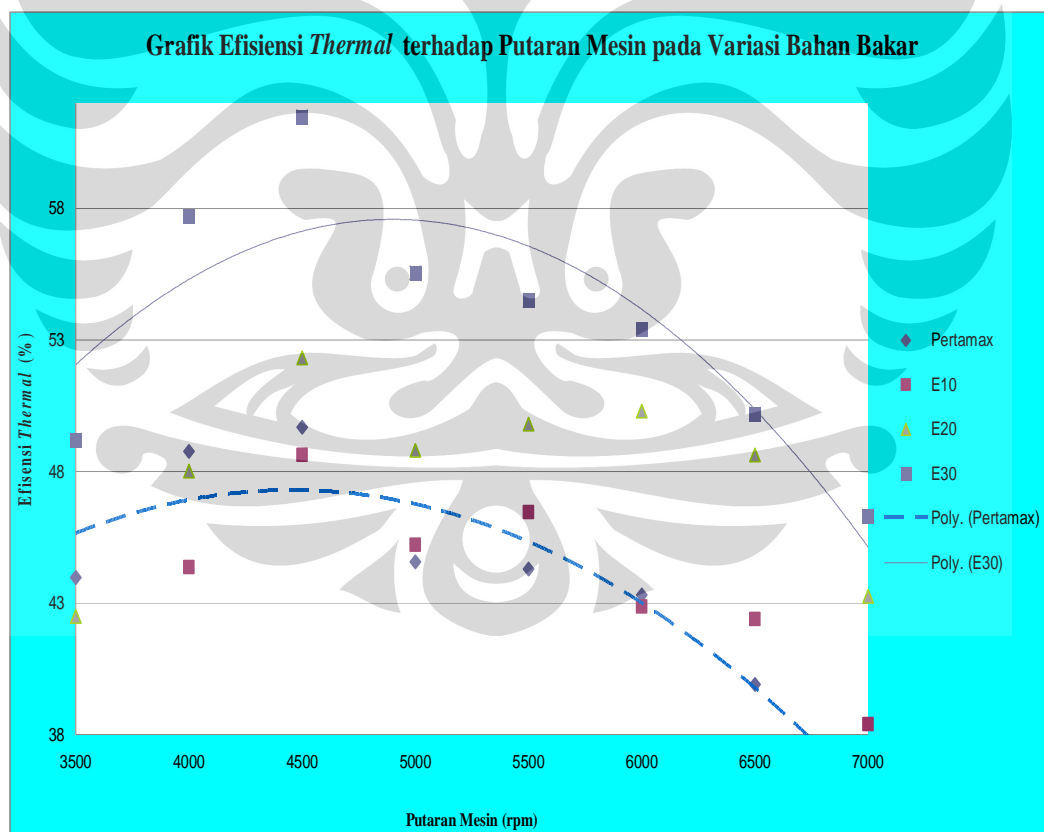


Gambar 4.3 SFC pada variasi bahan bakar di pengapian  $10^0$  BTDC

kecenderungan yang dapat dilihat adalah adanya penurunan SFC secara signifikan pada putaran mesin 3500 sampai 5500 rpm. Hal tersebut dikarenakan kenaikan SFC menurun pada saat putaran mesin meningkat, sampai titik minimum dan akan kembali meningkat pada kecepatan tinggi. Dari gambar dapat dilihat untuk pertamax, E20, E30 titik SFC terendah terjadi pada putaran 4500 rpm, dan SFC terbaik terdapat pada campuran Pertamax 70% dan etanol 30% dengan penurunan SFC sebesar 7.1%.

#### 4.3.1.4. Efisiensi Termal, $\eta_t$ pada pengapian $10^0$ BTDC

Effisiensi thermal merupakan ukuran besarnya pemanfaatan energi yang terkandung di dalam bahan bakar untuk dirubah menjadi daya. Tingginya nilai effisiensi thermal dihasilkan oleh kualitas pembakaran di dalam ruang bakar yang semakin sempurna.



Gambar 4.4  $\eta_t$  pada variasi bahan bakar di pengapian  $10^0$  BTDC

Untuk hasil percobaan dengan variasi bahan bakar ditunjukkan pada grafik diatas (gambar 4.4). Dari grafik dapat dilihat bahwa efisiensi termal cenderung naik seiring dengan peningkatan putaran mesin, nilai maksimum efisiensi termal terjadi pada putaran 4500 rpm untuk pertamax, E10, E20 dan E30, sedangkan efisiensi termal maksimum terjadi pada putaran 5000 rpm untuk E30 dengan peningkatan efisiensi termal sebesar 22.13 %.

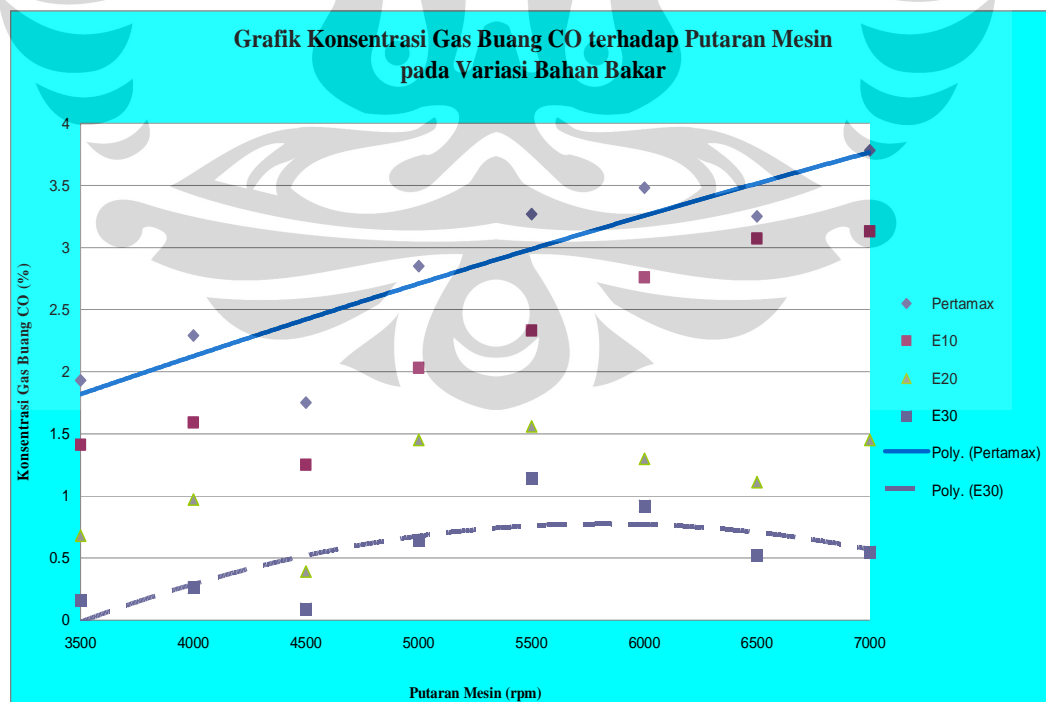
Kenaikan efisiensi thermal terjadi karena daya yang dihasilkan tidak berubah sedangkan *spesific fuel* dan LHV Pertamax-Etanol turun. Semakin besar persentase etanol semakin besar efisiensi thermal yang dihasilkan.

#### 4.4 Emisi Gas Buang

##### 4.4.1. Konsentrasi Emisi Karbon Monoksida, CO

###### 4.4.1.1. CO pada pengapian 10° BTDC

Rangkuman kecenderungan perubahan konsentrasi emisi CO terhadap putaran mesin pada bahan bakar E10, E20 dan E30 dibandingkan bahan bakar bensin pertamax masing-masing disajikan pada gambar 4.5



Gambar 4.5 CO pada variasi bahan bakar di pengapian 10° BTDC

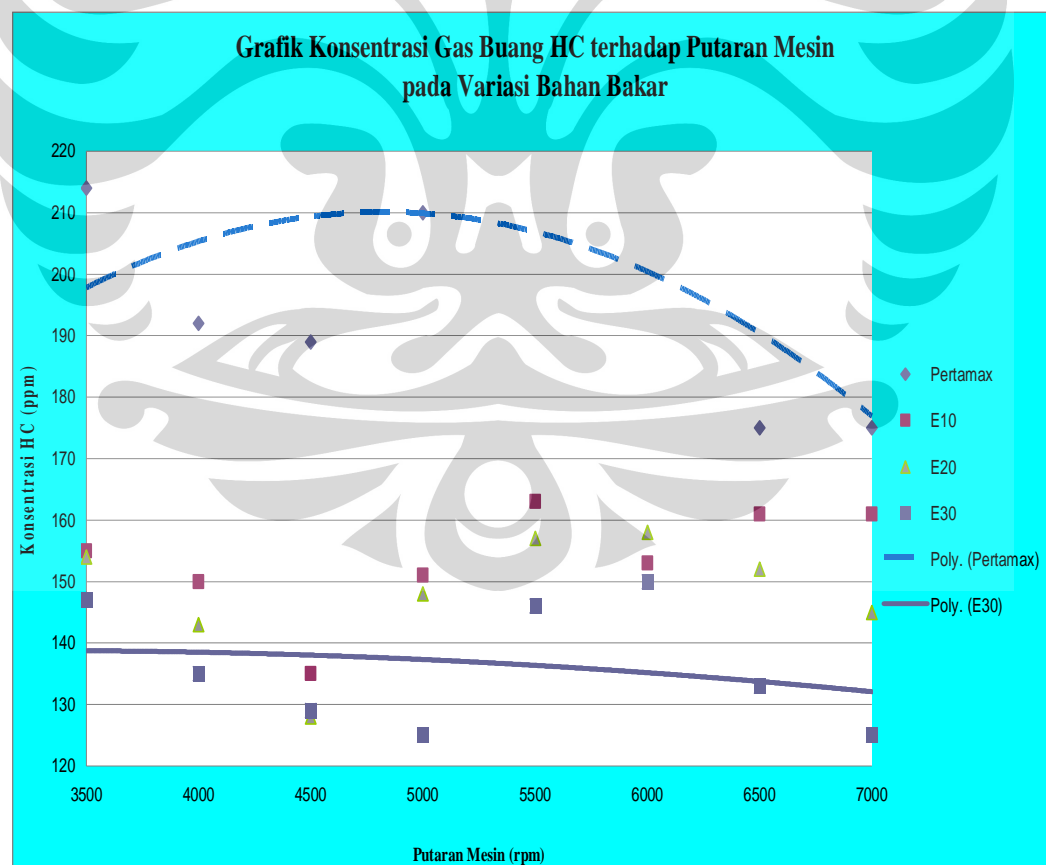
Hasil pengujian menunjukkan bahwa kecenderungan nilai CO mengalami penurunan pada E10, E20 dan E30 dibandingkan pertamax. Hal tersebut menunjukkan emisi gas buang CO yang dihasilkan campuran E10, E20 dan E30 sangat baik dengan nilai penurunan antara 23% sampai 82%.

Penelitian-penelitian sebelumnya memang menunjukkan kadar CO pada emisi bahan bakar yang dicampur dengan etanol akan turun 20% sampai 80%. Semakin tinggi persentase etanol semakin rendah kadar HC yang dihasilkan.

#### 4.4.2. Konsentrasi Emisi Hidrokarbon, HC

##### 4.4.2.1. HC pada pengapian $10^\circ$ BTDC

Kecenderungan perubahan konsentrasi emisi HC terhadap kecepatan putar pada bahan bakar pertamax, E10, E20 dan E30 ditunjukkan pada gambar 4.24.



**Gambar 4.6** HC pada variasi bahan bakar di pengapian  $10^\circ$

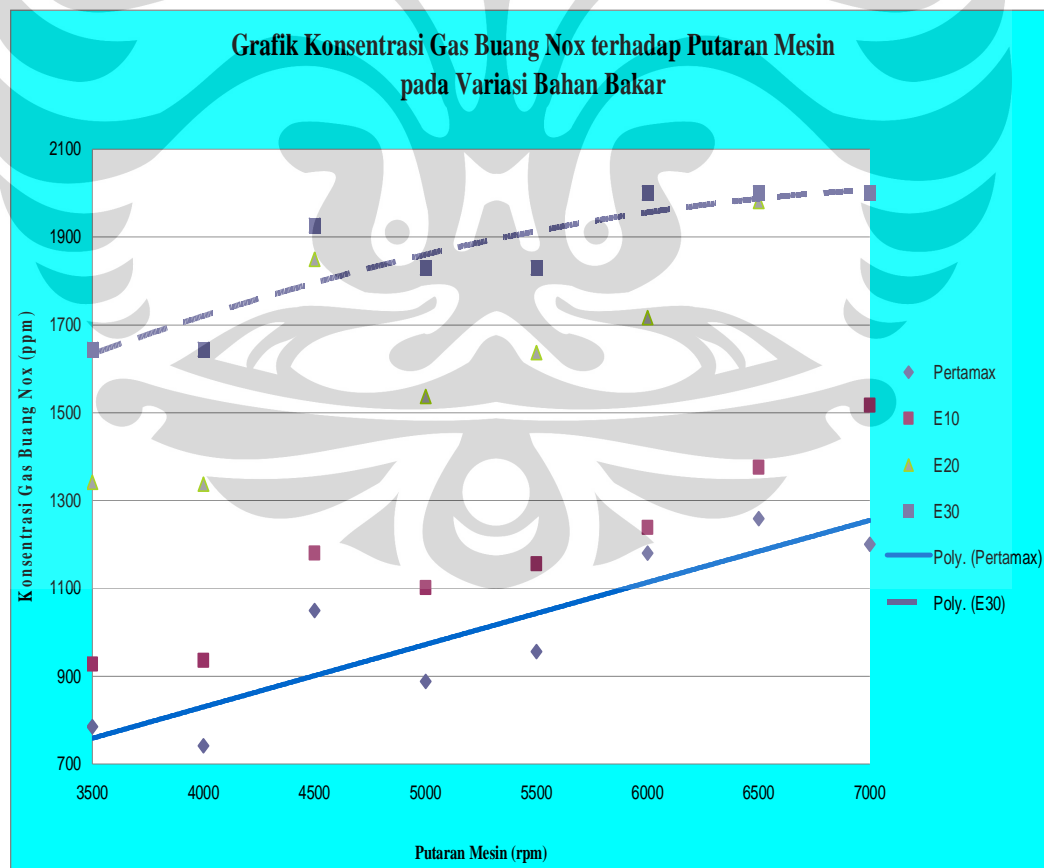
Hasil pengujian menunjukkan bahwa kecenderungan nilai HC turun pada E10, E20, dan E30 dibandingkan Pertamax. Hal tersebut menunjukkan emisi gas buang HC yang dihasilkan campuran E10, E20 dan E30 sangat baik dengan nilai penurunan antara 22% sampai 31%.

Konsentrasi HC pada penelitian sebelumnya menunjukkan penurunan 20% sampai 60% pada campuran bahan bakar dengan etanol. Semakin tinggi persentase etanol semakin rendah kadar HC yang dihasilkan.

#### 4.4.3. Konsentrasi Emisi Nitrogen Oksid, NO<sub>x</sub>

##### 4.4.3.1. NO<sub>x</sub> pada pengapian 10° BTDC

Kecenderungan perubahan konsentrasi emisi NO<sub>x</sub> terhadap kecepatan putar pada bahan bakar pertamax, E10, E20 dan E30 ditunjukkan pada gambar 4.24.



**Gambar 4.7** NO<sub>x</sub> pada variasi bahan bakar di pengapian 10°

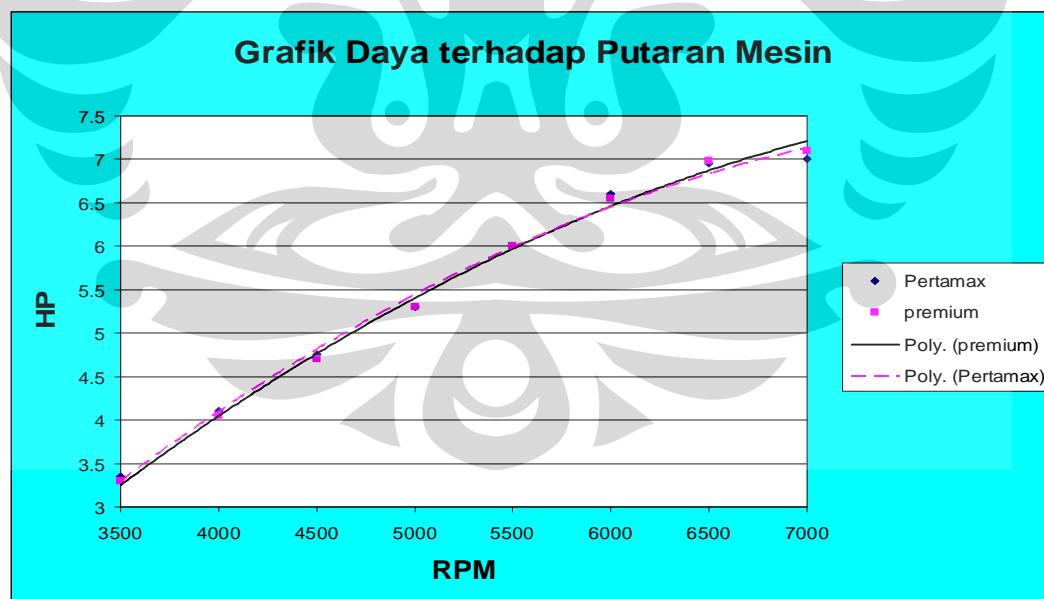
Hasil pengujian menunjukkan bahwa kecenderungan nilai NO<sub>x</sub> naik pada E10, E20, dan E30 dibandingkan Pertamax. Hal tersebut hanya menunjukkan panas yang tinggi pada ruang bakar ( $>1500K$ ).

Pada penelitian-penelitian sebelumnya kadar NO<sub>x</sub> pada campuran bahan bakar dengan etanol memang naik ini disebabkan oleh jumlah O<sub>2</sub> yang meningkat akibat adanya senyawa etanol dalam bahan bakar yang berikatan dengan NO hasil pembakaran. Semakin tinggi persentase etanol makin besar pula jumlah NO<sub>x</sub> yang dihasilkan

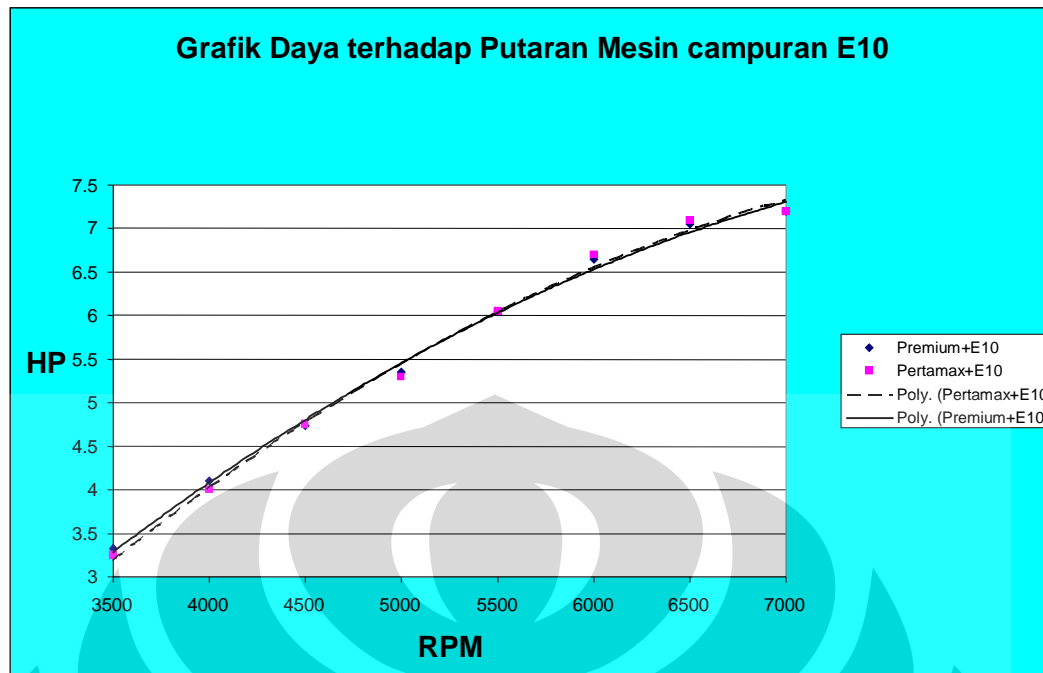
#### 4.5. Perbandingan Analisa Unjuk Kerja

##### 4.5.1. Perbandingan Analisa Daya, FC dan Effisiensi Thermal terhadap Waktu Pengapian 10<sup>0</sup> BTDC antara Pertamax dan Premium

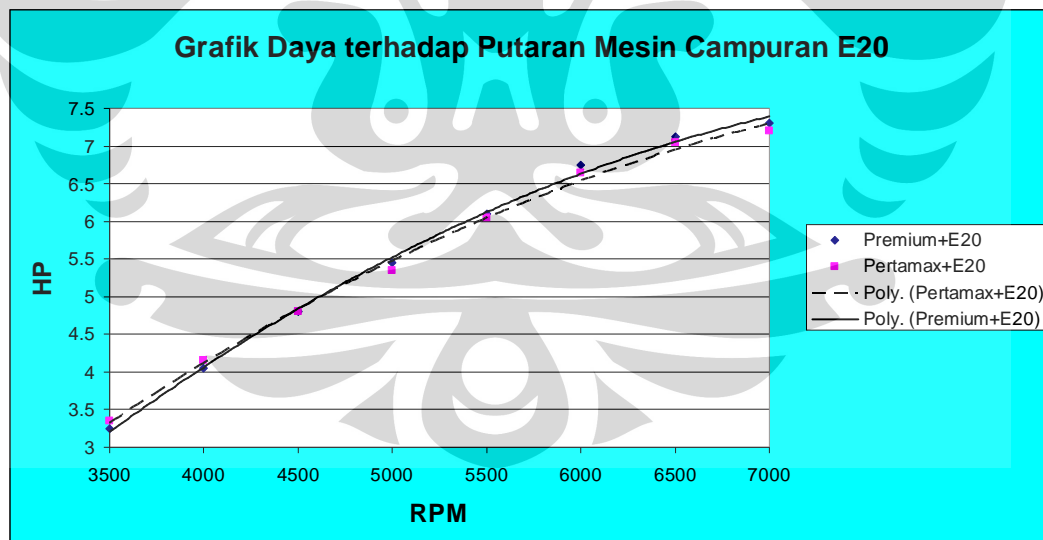
###### 4.5.1.1. Perbandingan Daya pada pengapian 10<sup>0</sup> BTDC antara Pertamax dan Premium



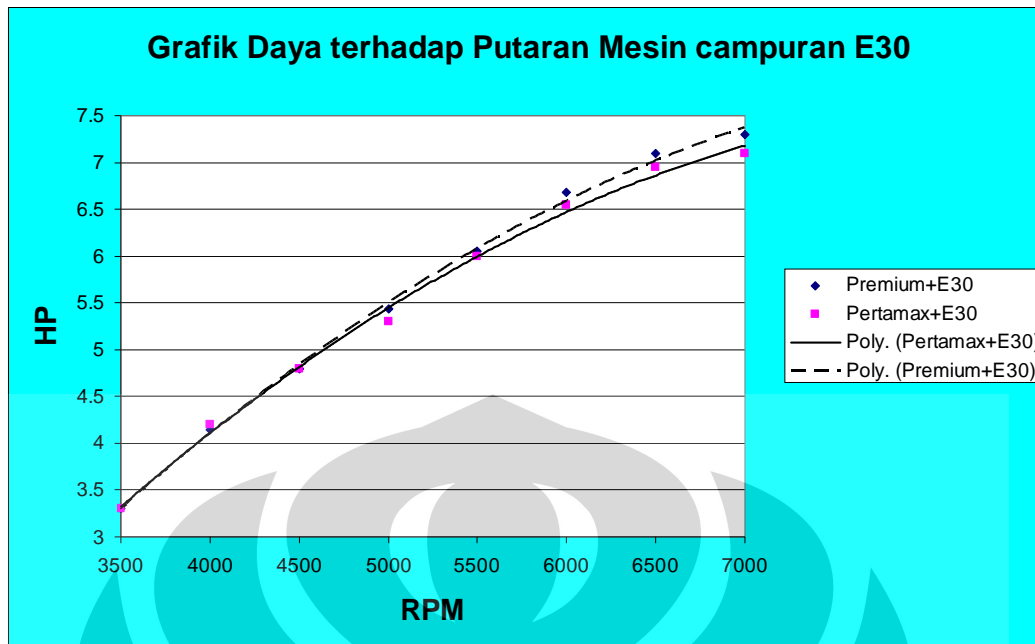
**Gambar 4.8** Daya pada variasi bahan bakar di pengapian 10<sup>0</sup> BTDC Pertamax dan premium



**Gambar 4.9** Daya pada variasi bahan bakar di pengapian  $10^0$  BTDC  
Pertamax+E10 dan Premium+E10



**Gambar 4.10** Daya pada variasi bahan bakar di pengapian  $10^0$  BTDC  
Pertamax+E20 dan Premium+E20

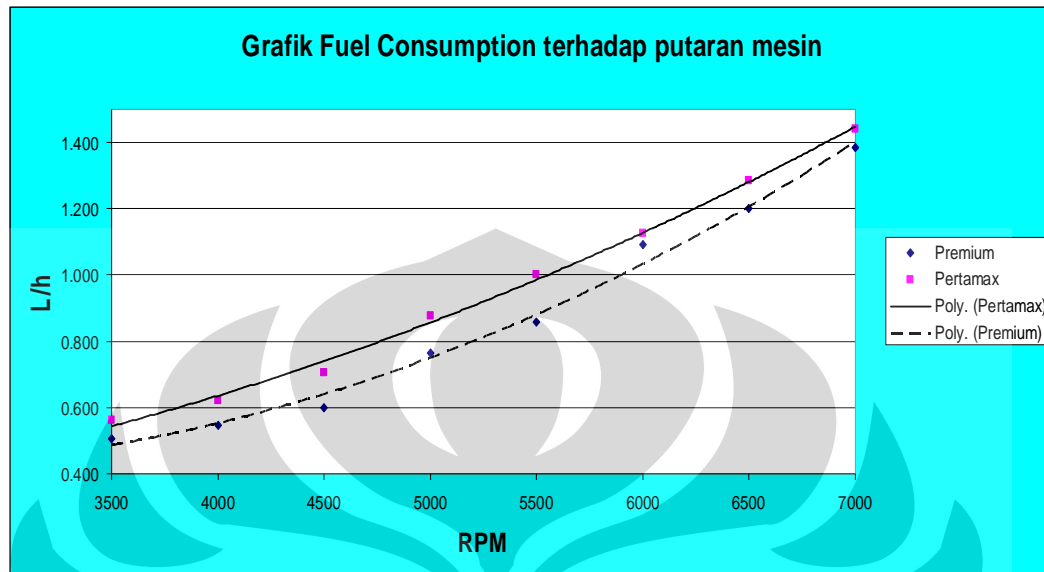


**Gambar 4.11** Daya pada variasi bahan bakar di pengapian  $10^{\circ}$  BTDC

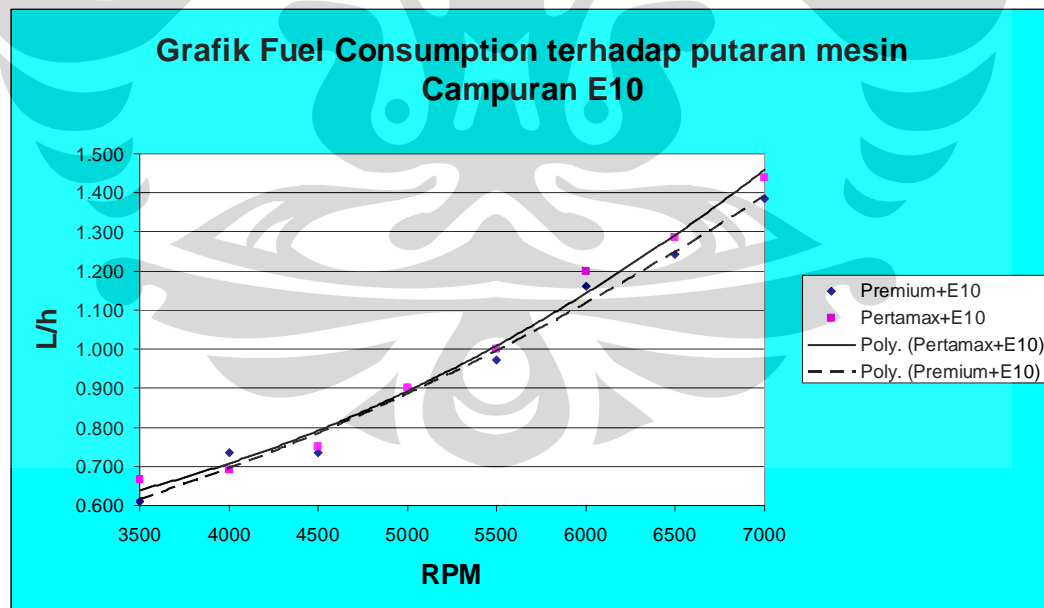
Pertamax+E30 dan Premium+E30

Grafik daya di atas (gambar 4.8, 4.9, 4.10, 4.11) menunjukkan bahwa dengan waktu pengapian  $10^{\circ}$  BTDC daya yang dihasilkan Pertamax dari 3500 sampai 7000 rpm oleh mesin, tidak ada perubahan daya yang significant bahkan cenderung turun bila dibandingkan dengan premium baik E10, E20 maupun E30. Hal tersebut terjadi karena rasio kompresi pada mesin tidak dirubah mengikuti peningkatan angka oktan bahan bakar, dimana pertamax dan campurannya memiliki angka oktan lebih tinggi dari premium.

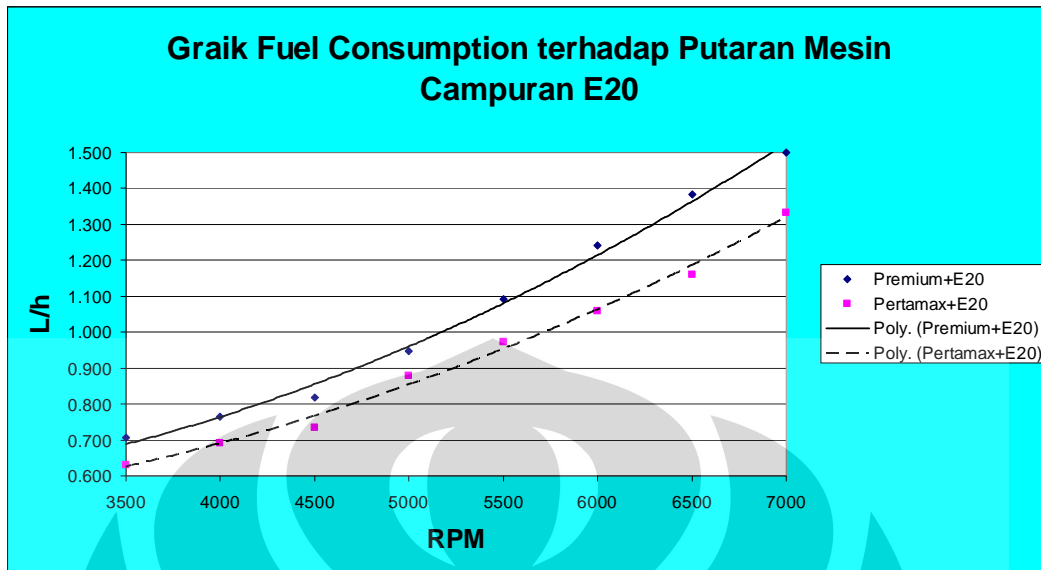
#### 4.5.1.2. *Fuel Consumption* pada pengapian $10^{\circ}$ BTDC antara Pertamax dan Premium



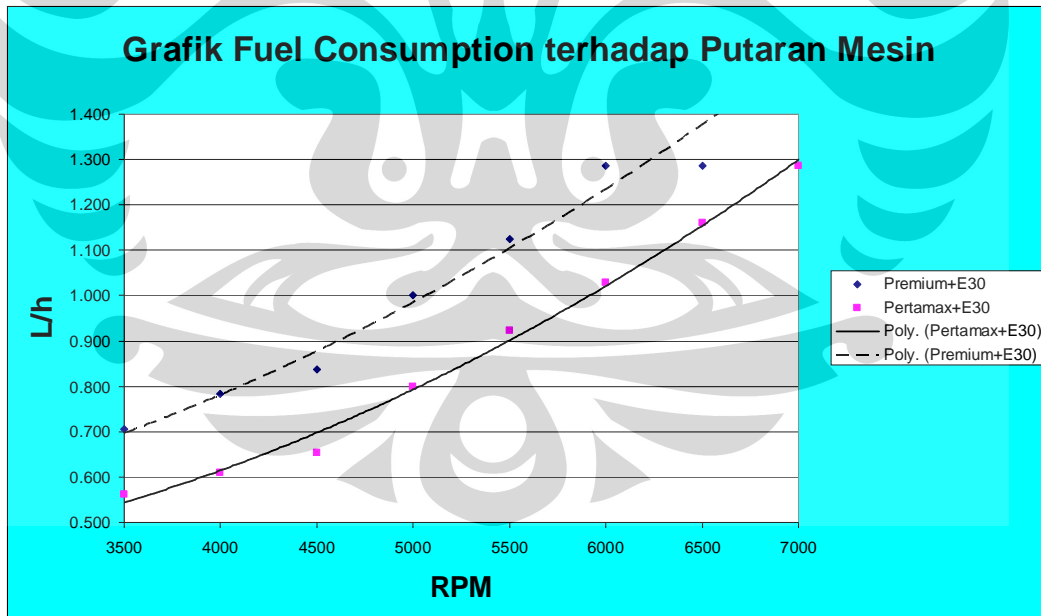
Gambar 4.12 *Fuel Consumption* pada variasi bahan bakar di pengapian  $10^{\circ}$  Pertamax dan Premium BTDC



Gambar 4.13 *Fuel Consumption* pada variasi bahan bakar di pengapian  $10^{\circ}$  Pertamax+E10 dan Premium+E10 BTDC



Gambar 4.14 *Fuel Consumption* pada variasi bahan bakar di pengapian  $10^{\circ}$   
Pertamax+E20 dan Premium+E20 BTDC

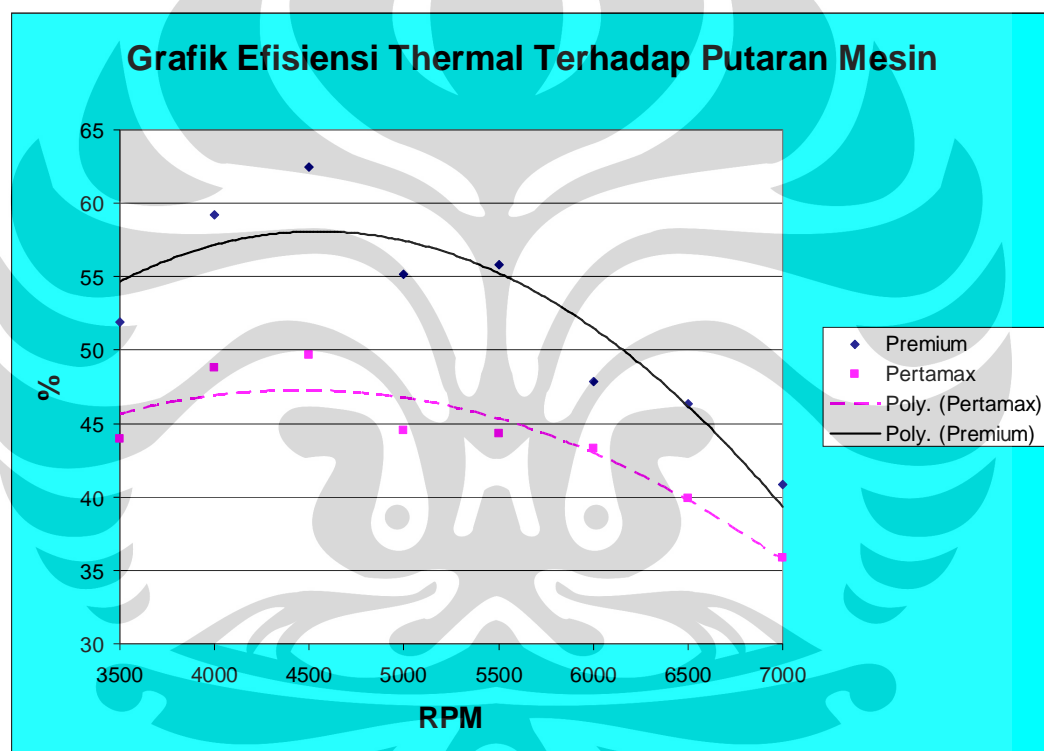


Gambar 4.15 *Fuel Consumption* pada variasi bahan bakar di pengapian  $10^{\circ}$   
Pertamax+E30 dan Premium+E30 BTDC

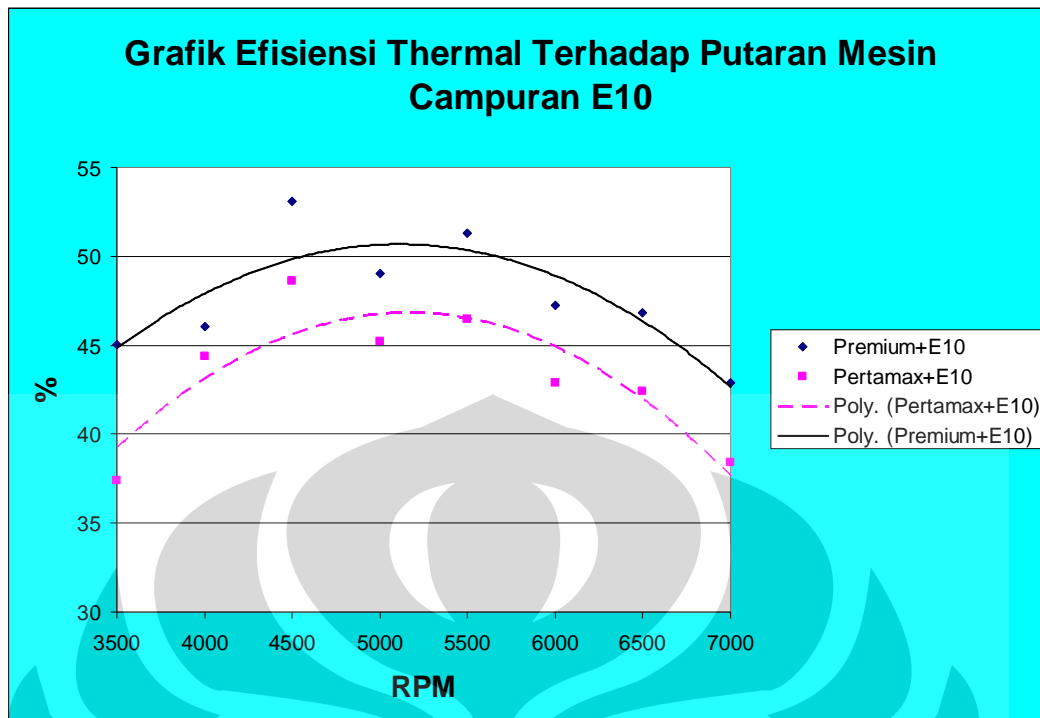
Dapat dilihat pada gambar 4.12 dan 4.13 konsumsi bahan bakar lebih dipengaruhi rasio kompresi mesin sehingga premium konsumsinya lebih sedikit.

Sedangkan pada gambar 4.14 dan 4.15 konsumsi bahan bakar cenderung meningkat pada premium seiring dengan peningkatan putaran mesin, hal ini terjadi karena pengaruh EOT sensor, dimana hasil pembakaran tidak sempurna pertamax dan kandungan etanol yang besar menimbulkan panas berlebih pada ruang bakar menyebabkan signal input yang dikirim pada ECM adalah untuk mengurangi suplai bahan bakar.

#### 4.5.1.3. Perbandingan Efisiensi Termal, $\eta_t$ pada pengapian $10^0$ BTDC antara Pertamax dan Premium

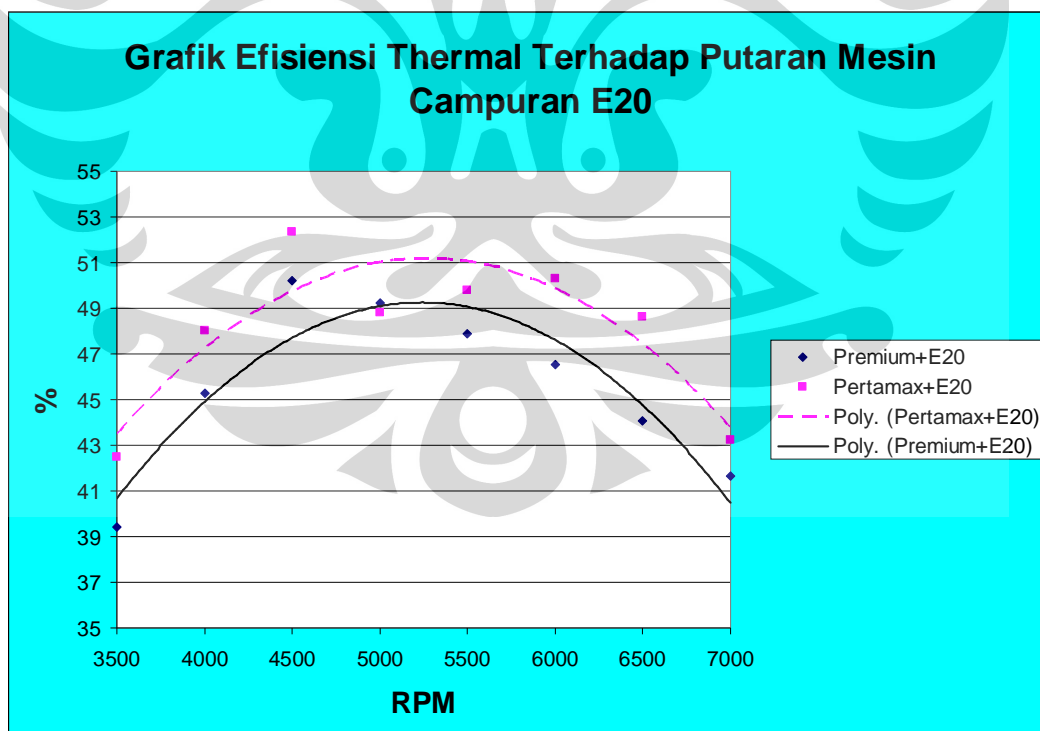


Gambar 4.16  $\eta_t$  pada variasi bahan bakar di pengapian  $10^0$  BTDC Pertamax dan Premium



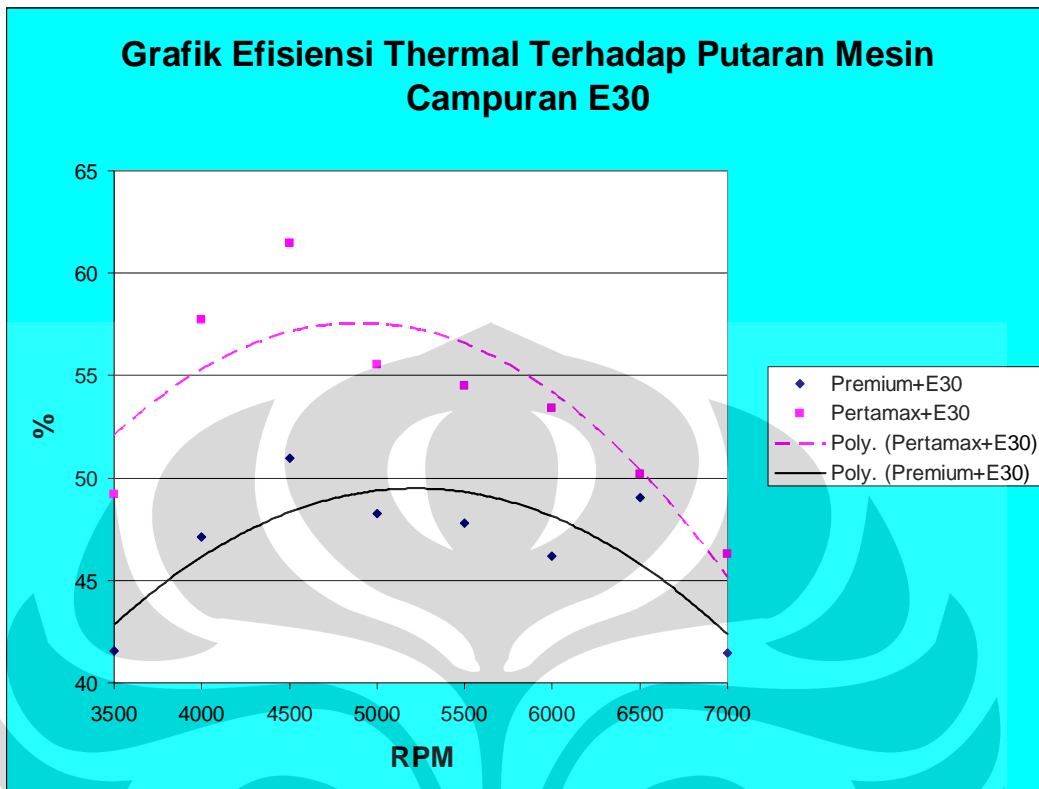
Gambar 4.17  $\eta_t$  pada variasi bahan bakar di pengapian  $10^{\circ}$  BTDC

Pertamax+E10 dan Premium+E10



Gambar 4.18  $\eta_t$  pada variasi bahan bakar di pengapian  $10^{\circ}$  BTDC

Pertamax+E20 dan Premium+E20



Gambar 4.19  $\eta_t$  pada variasi bahan bakar di pengapian  $10^0$  BTDC

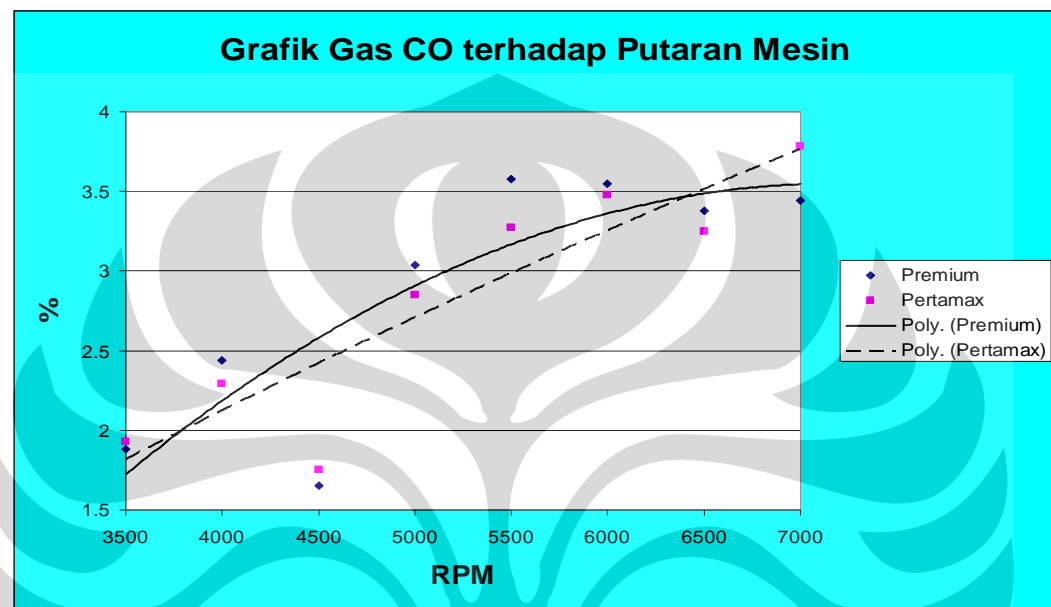
Pertamax+E30 dan Premium+E30

Fenomena yang sama dialami pula oleh efisiensi thermal karena berbanding terbalik dengan *Specific Fuel Consumption*. pada gambar 4.16 dan 4.17 efisiensi thermal lebih dipengaruhi rasio kompresi mesin sehingga premium Efisiensi Thermalnya lebih besar. Sedangkan pada gambar 4.18 dan 4.19 yang berperan adalah EOT sensor yang menyebabkan efisiensi thermal Pertamax dan campurannya E20 dan E30 cenderung lebih tinggi.

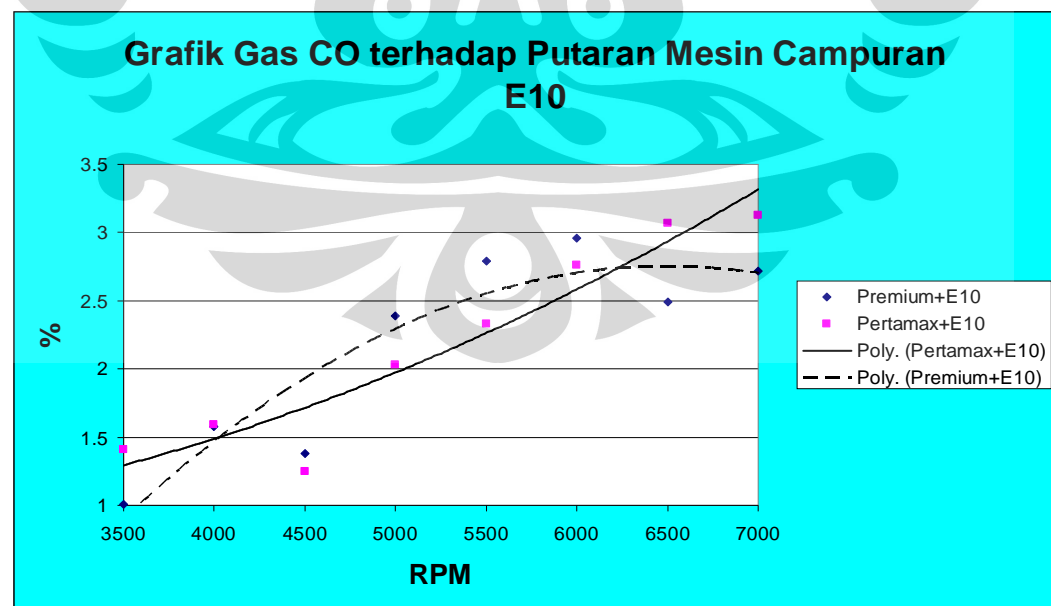
## 4.6 Perbandingan Emisi Gas Buang antara Pertamax dan Premium

### 4.6.1. Perbandingan Konsentrasi Emisi Karbon Monoksida, CO antara Pertamax dan Premium

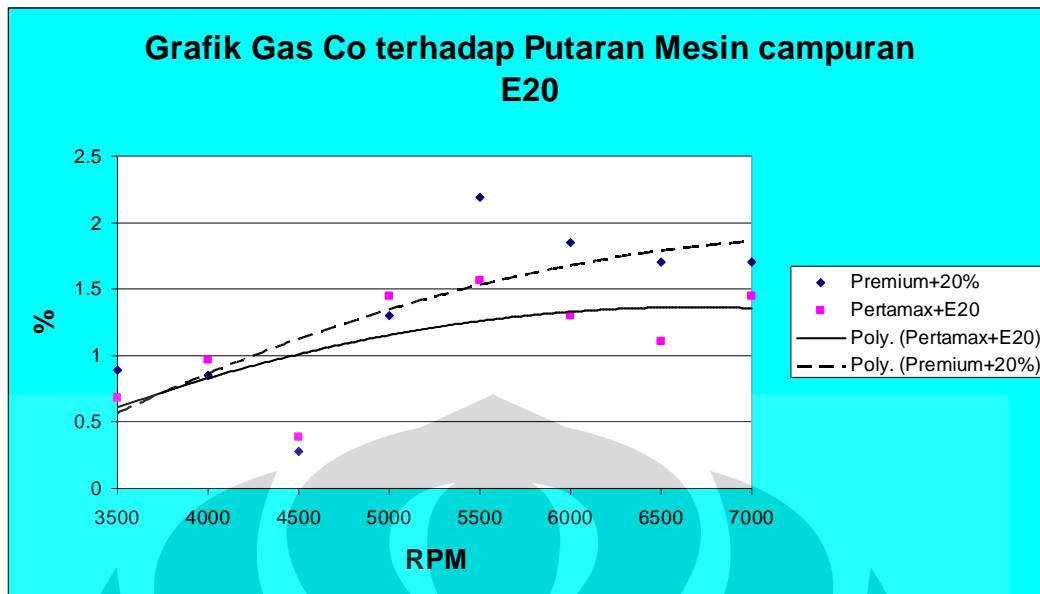
#### 4.6.1.1. Perbandingan CO pada pengapian $10^\circ$ BTDC antara Pertamax dan Premium



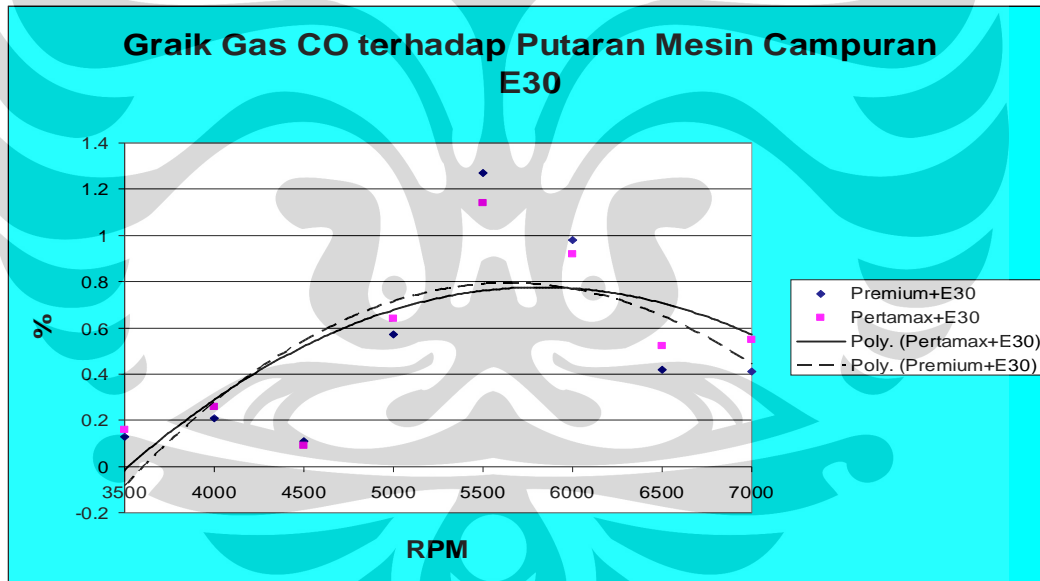
Gambar 4.20 CO pada variasi bahan bakar di pengapian  $10^\circ$  BTDC Pertamax dan Premium



Gambar 4.21 CO pada variasi bahan bakar di pengapian  $10^\circ$  BTDC Pertamax+E10 dan Premium+E10



**Gambar 4.22** CO pada variasi bahan bakar di pengapian 10° BTDC Pertamax+E20 dan Premium+E20

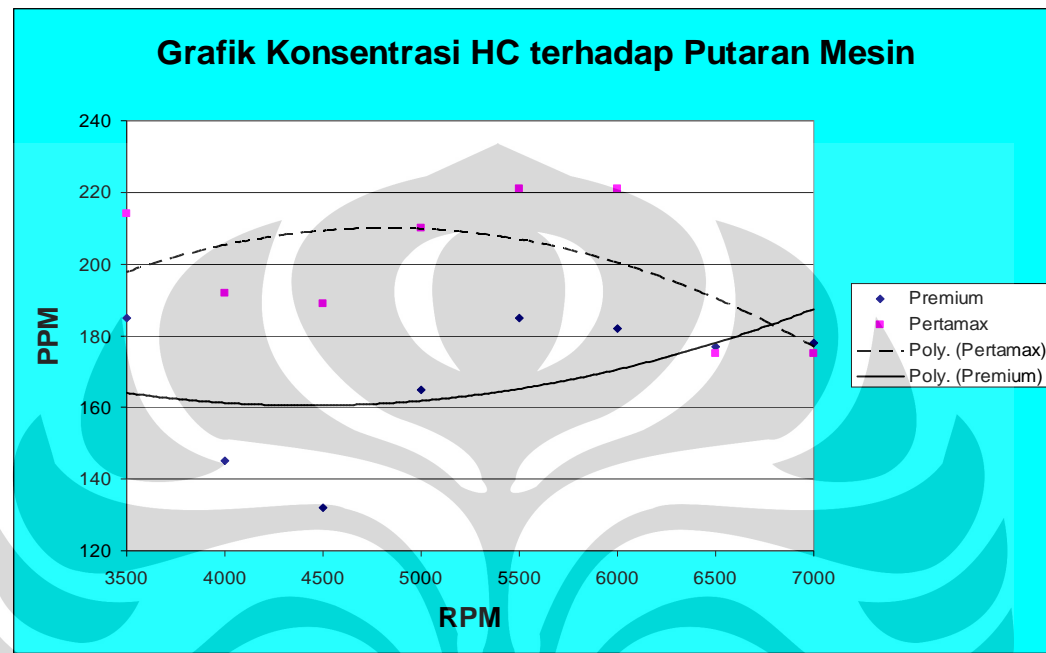


**Gambar 4.23** CO pada variasi bahan bakar di pengapian 10° BTDC Pertamax+E30 dan Premium+E30

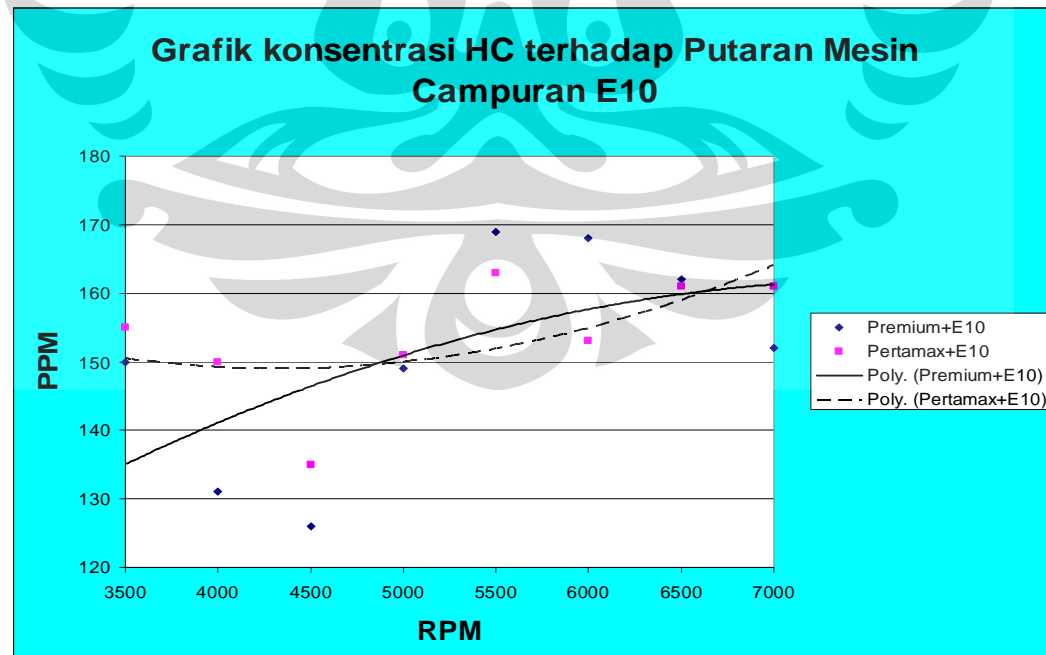
Hasil pengujian menunjukkan bahwa kecenderungan nilai CO mengalami penurunan pada campuran E10, E20 dan E30 baik premium maupun pertamax. Hampir tidak ada perbedaan yang significant hanya pada premium, keluaran CO lebih stabil karena pembakaran stabil sesuai dengan rasio kompresi yang dibutuhkan Premium.

#### 4.6.2. Perbandingan Konsentrasi Emisi Hidrokarbon, HC antara Pertamax dan Premium

##### 4.6.2.1. Perbandingan HC pada pengapian $10^\circ$ BTDC antara Pertamax dan Premium

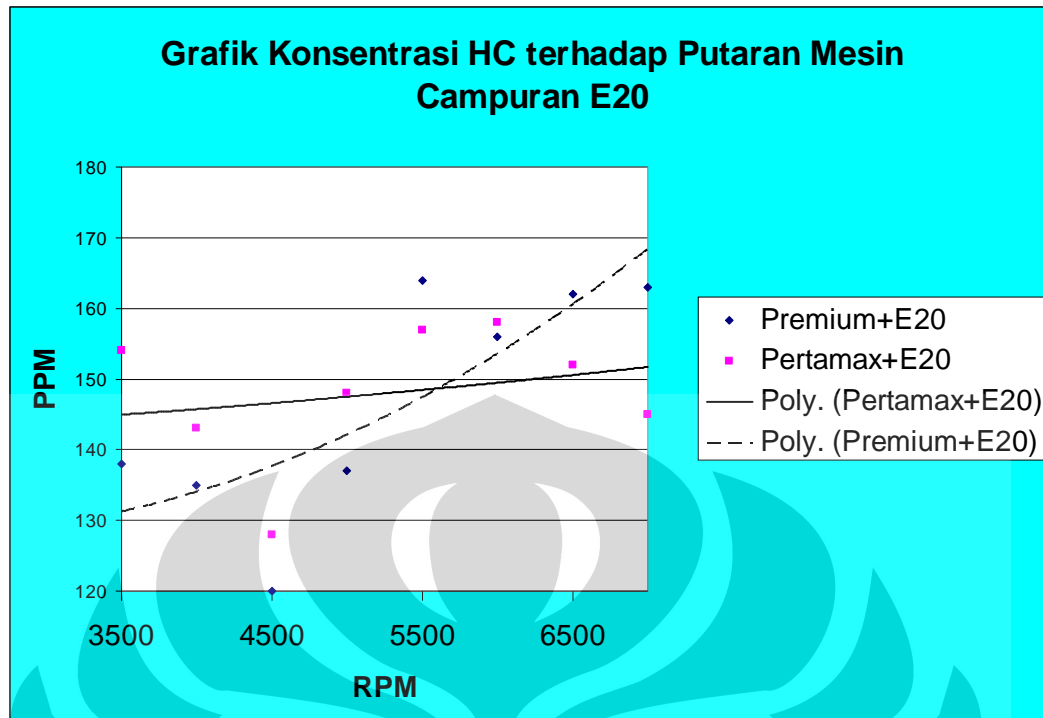


Gambar 4.24 HC pada variasi bahan bakar di pengapian  $10^\circ$  BTDC Pertamax dan Premium



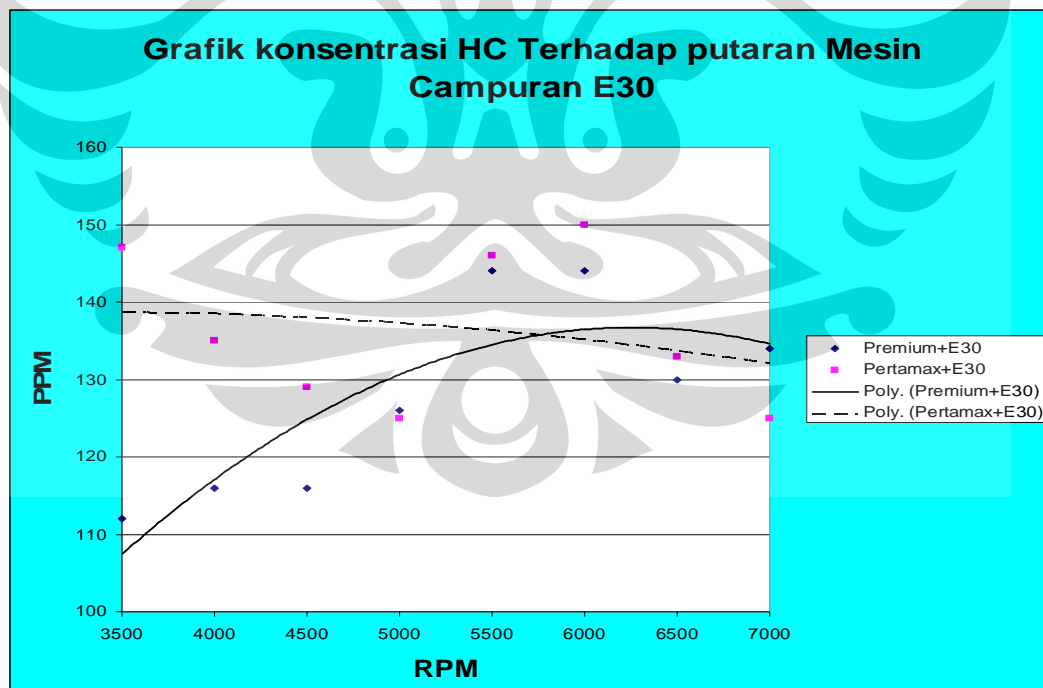
Gambar 4.25 HC pada variasi bahan bakar di pengapian  $10^\circ$  BTDC

Pertamax+E10 dan Premium+E10



**Gambar 4.26** HC pada variasi bahan bakar di pengapian 10° BTDC

Pertamax+E20 dan Premium+E20



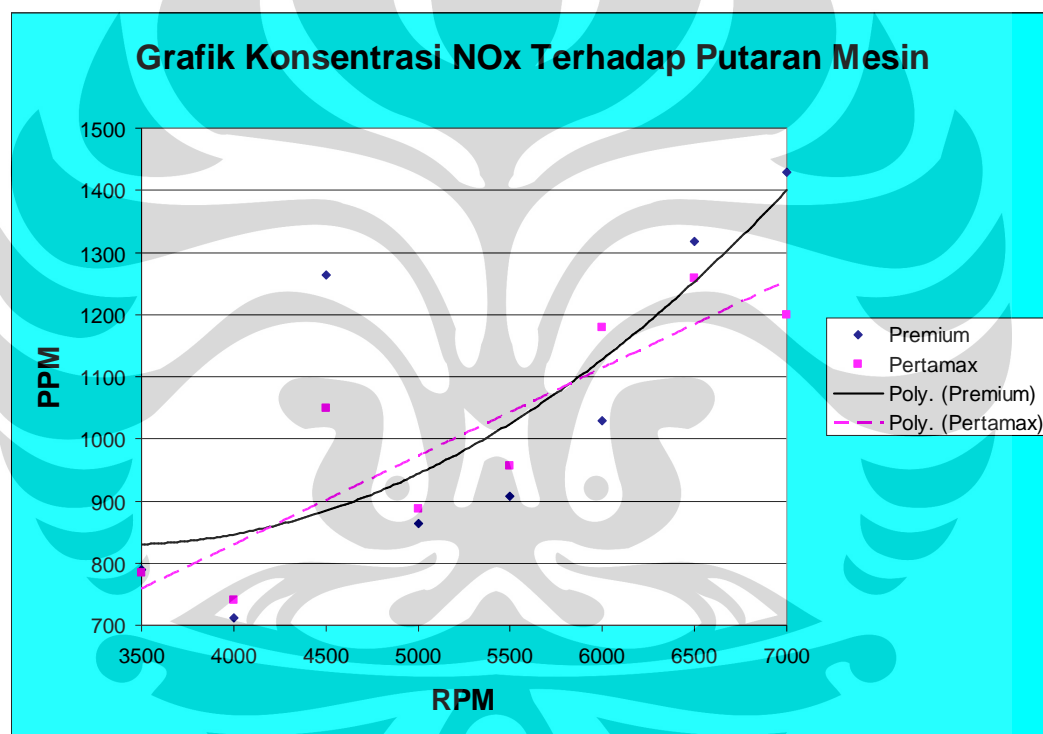
**Gambar 4.27** HC pada variasi bahan bakar di pengapian 10° BTDC

Pertamax+E30 dan Premium+E30

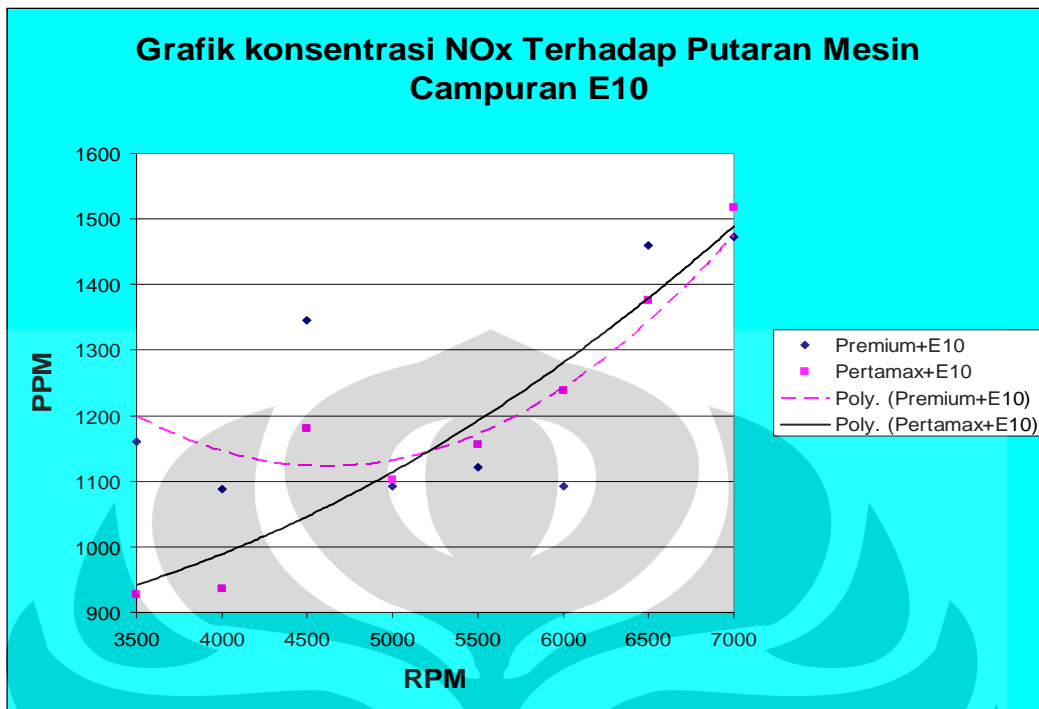
Hasil pengujian menunjukkan bahwa kecenderungan nilai HC mengalami penurunan pada campuran E10, E20 dan E30 baik premium maupun pertamax. Hampir tidak ada perbedaan yang significant hanya pada premium, keluaran HC lebih stabil karena pembakaran stabil sesuai dengan rasio kompresi yang dibutuhkan Premium.

#### 4.6.3. Konsentrasi Emisi, NO<sub>x</sub> antara Pertamax dan Premium

##### 4.6.3.1. Perbandingan NO<sub>x</sub> pada pengapian 10° BTDC antara Pertamax dan Premium

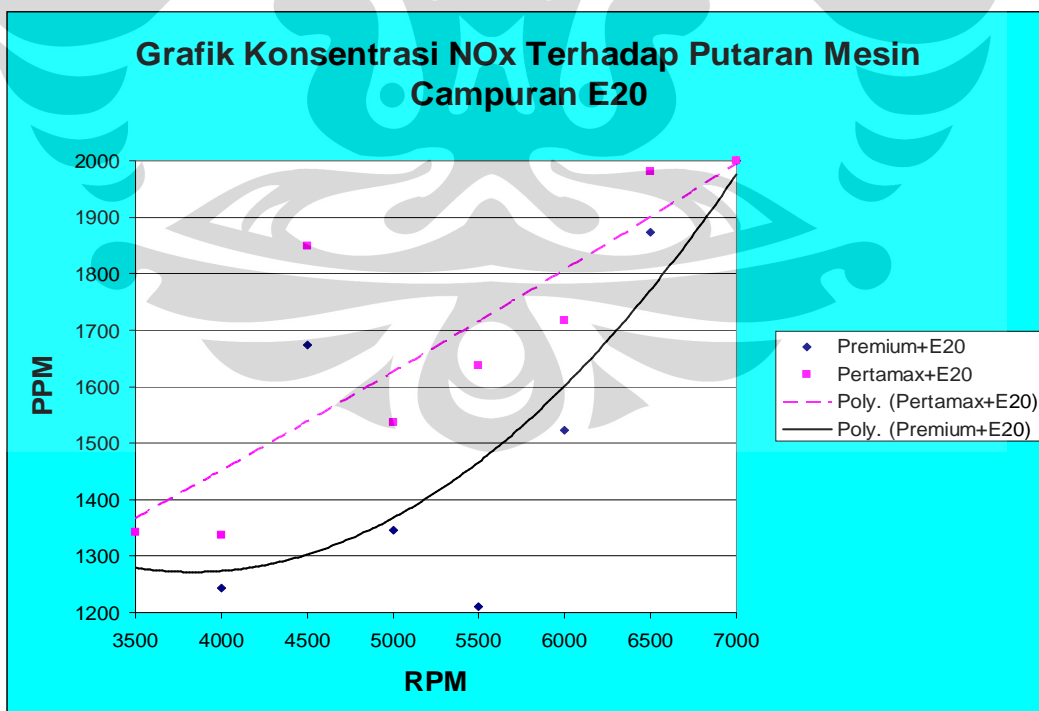


**Gambar 4.28** NO<sub>x</sub> pada variasi bahan bakar di pengapian 10° BTDC Pertamax dan Premium



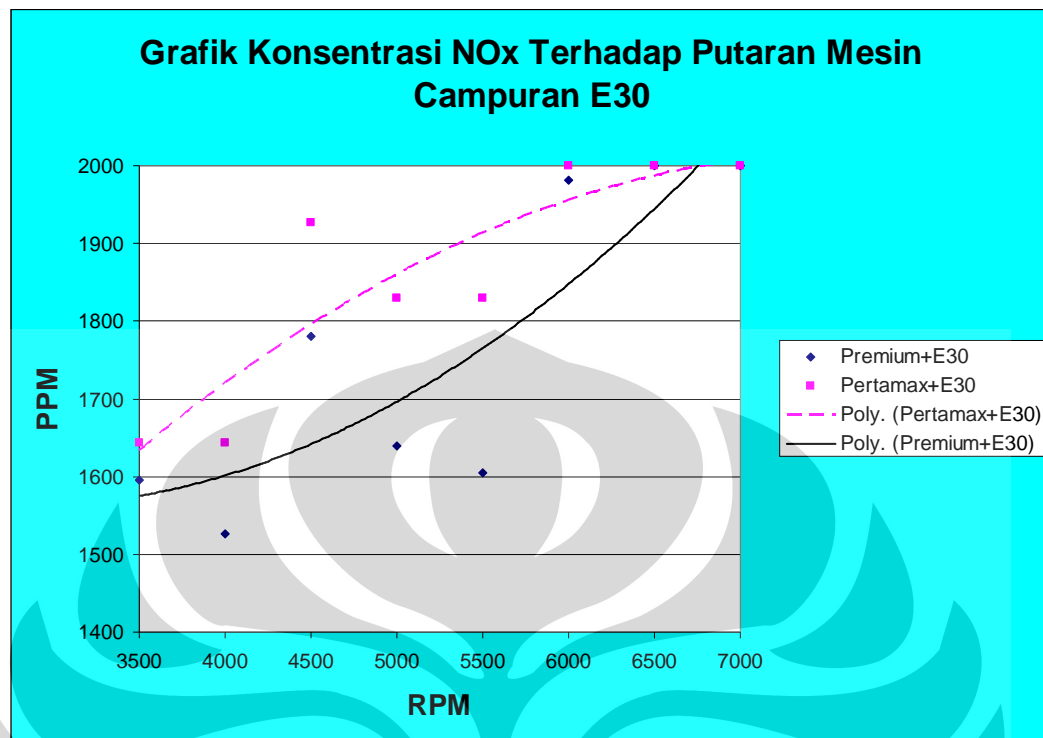
**Gambar 4.29** NO<sub>x</sub> pada variasi bahan bakar di pengapian 10° BTDC

Pertamax+E10 dan Premium+E10



**Gambar 4.30** NO<sub>x</sub> pada variasi bahan bakar di pengapian 10° BTDC

Pertamax+E20 dan Premium+E20



**Gambar 4.31** NO<sub>x</sub> pada variasi bahan bakar di pengapian 10° BTDC

Pertamax+E30 dan Premium+E30

Hasil pengujian menunjukkan bahwa kecenderungan nilai NO<sub>x</sub> lebih tinggi pada Pertamax dan campurannya. Hal ini menunjukkan panas yang tinggi pada ruang bakar sehingga terbentuk NO<sub>x</sub> dari reaksi NO bahan bakar dan O<sub>2</sub> etanol. Pembakaran tidak sempurna yang terjadi akibat rasio kompresi yang tidak sesuai mengakibatkan Pertamax dan campurannya lebih polusif.

## BAB V

### PENUTUP

#### 5.1 Kesimpulan

Pengujian tentang pengaruh variasi waktu pengapian dan komposisi campuran *Pertamax-etanol* terhadap unjuk kerja dan emisi gas buang untuk sepeda motor 4 tak 1 silinder injeksi 125 cc menghasilkan hal-hal sebagai berikut:

1. Penambahan campuran etanol dengan komposisi 10%, 20% dan 30 % kedalam bahan bakar bensin premium memberikan pengaruh terhadap sifat fisik/kimia .
2. Pada pengapian  $10^\circ$  BTDC daya yang dihasilkan cenderung sama untuk Pertamax, E10, E20 maupun E30. Jika dibandingkan dengan premium dan campurannya (E10, E20 dan E30) tidak ada perubahan yang significant karena rasio kompresi yang digunakan sama bahkan pertamax dan campurannya (E10, E20 dan E30) cenderung turun karena rasio kompresi yang seharusnya digunakan lebih besar ( $\geq 10 : 1$  ).
3. Pada pengapian  $10^\circ$  BTDC konsumsi bahan bakar dan *Spesific Fuel Consumption* (SFC) terbaik terjadi pada campuran pertamax 70 % dengan etanol 30 % dengan kecenderungan penurunan FC sebesar 7.4% dan SFC sebesar 7.1%. Jika dibandingkan dengan premium dan campurannya (E10, E20 dan E30) maka *Spesific Fuel Consumption* (SFC) Premium lebih rendah hal ini juga disebabkan oleh rasio kompresi yang digunakan pertamax lebih rendah dari yang seharusnya.
4. Sedangkan efisiensi thermal maksimum terjadi pada campuran pertamax 70 % dan etanol 30%, untuk putaran 7000 rpm, dengan peningkatan sebesar 22.3%. Jika dibandingkan dengan Premium dan campurannya (E10, E20 dan E30) Pertamax dan campurannya (E10, E20 dan E30) lebih rendah karena pembakaran yang tidak sempurna akibat rasio kompresi yang lebih rendah.

5. Emisi Gas buang menunjukan penurunan kadar CO (22% sampai 31%) dan HC (23% sampai 82%). Jika dibandingkan dengan Premium dan campurannya (E10, E20 dan E30) maka Pertamax dan campurannya (E10, E20 dan E30) lebih tinggi karena adanya pembakaran yang tidak sempurna yang disebabkan rasio kompresi yang rendah.
6. Emisi Gas buang menunjukan kenaikan kadar NO<sub>x</sub> (46% sampai 88%). Jika dibandingkan dengan Premium dan campurannya (E10, E20 dan E30) kadar NO<sub>x</sub> Pertamax dan campurannya (E10, E20 dan E30) cenderung lebih tinggi karena pembakaran tidak sempurna pada ruang bakar.

## 5.2. Saran-Saran

Untuk memperoleh hasil yang optimum dan melanjutkan penelitian pada penelitian berikutnya ada beberapa hal yang perlu dicermati antara lain :

- ✓ Dalam pengambilan data, baik data unjuk kerja maupun konsentrasi gas buang harus diberi interval waktu yang cukup lama antara satu pengambilan dengan pengambilan yang lain karena pengambilan yang diambil secara kontinyu, sehingga pengambilan harus benar-benar steady.
- ✓ Dikarenakan mesin injeksi ada baiknya pengambilan data SFC dianjurkan menggunakan flow counter meter agar tingkat keakuriasan pengukuran lebih terjamin karena penggunaan alat ukur lain akan memberikan ruang untuk terjadinya penguapan.
- ✓ Hasil pengujian ini masih belum dapat diaplikasikan pada penggunaan sehari-hari karena sifat Etanol yang korosif dan dapat merusak part yang terbuat dari karet pada mesin kendaraan bermotor.

## DAFTAR REFERENSI

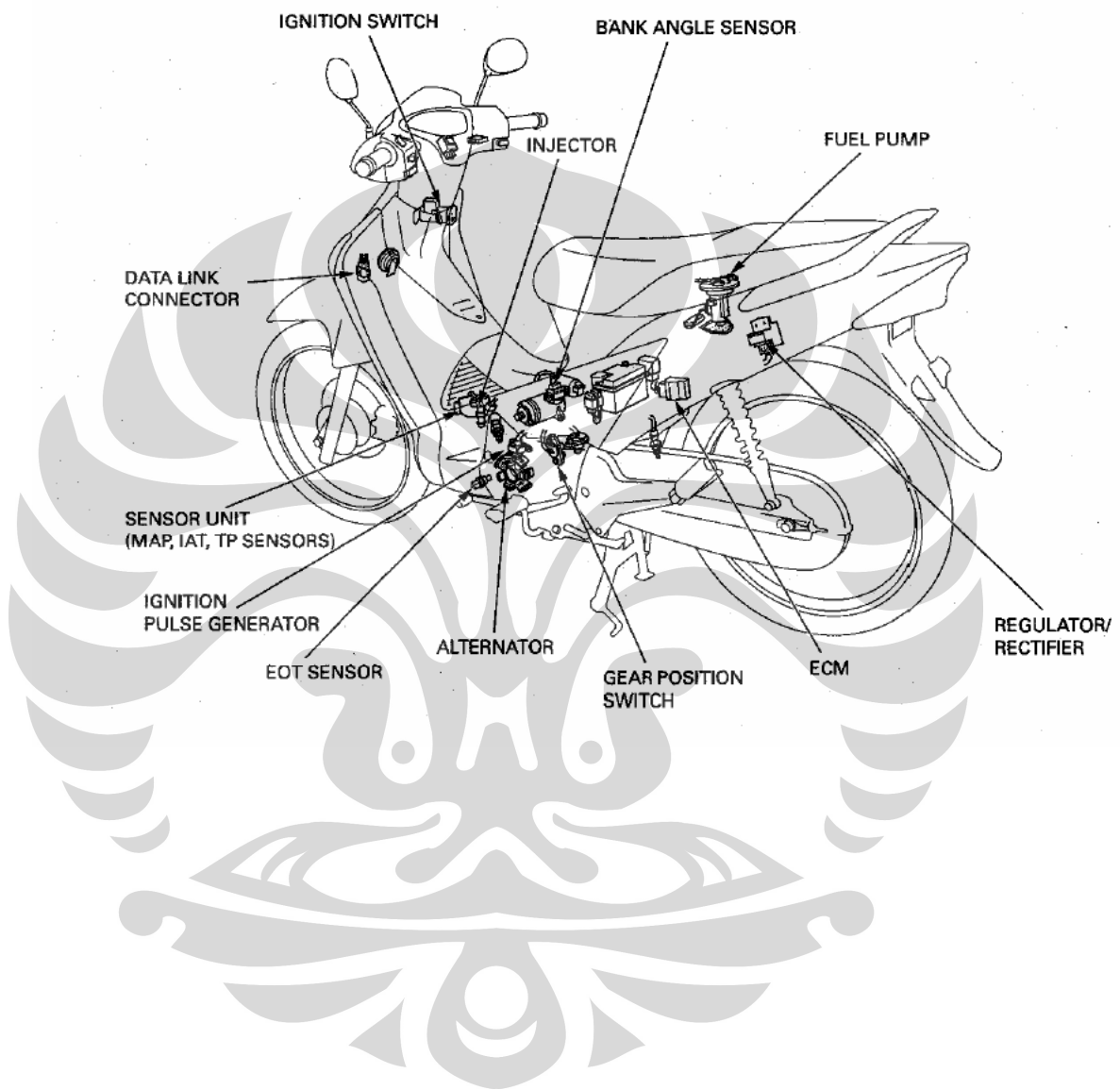
1. Sugiarto, Bambang. *Motor Pembakaran Dalam*. UI: Depok, 2002.
2. Willard W, Pulkrabek. *Engineering Fundamentals of the Internal Combustion Engine*. university of Winconsin: Platteville, 2004.
3. Indartono, Yuli. **Bioethanol, Alternatif Energi Terbarukan.** Kobe University
4. Cengel, Yunus A and boles, Michael A. *Thermodynamics: An engineering Approach*. The McGraw-Hill: New York, 2002.
5. Technical Service Division : “Sales Guide Supra X 125 PGM-FI” PT AHM, 2005
6. Handayani, Utami, Sri: ”Pemanfaatan Bioethanol Sebagai Bahan Bakar Pengganti Bensin”.  
[<http://www.d3-ft.undip.ac.id?gematek?image/stories/gema\\_101.pdf>](http://www.d3-ft.undip.ac.id?gematek?image/stories/gema_101.pdf)
7. <http://en.wikipedia/ethanol fuel>
8. Sugiarto, Bambang : ”Diktat Teknik pembakaran” UI, Depok, 1999
9. <http://www.astra-honda.com/product/>
10. <http://en.wikipedia.org/wiki/Ethanol>
11. Surawijaya, Dody. *Pengaruh waktu pengapian terhadap unjuk kerja dan emisi gas buang*. ITS: Surabaya, 2002
12. Charalampos, Arapatsakos I., Karkanis N. Anastasios, and Sparis D. Panagiotis. *ENVIRONMENTAL CONTRIBUTION OF GASOLINE ETHANOL MIXTURES*. Democritus University of Thrace, Mechanical Engineering Laboratory,V. Sofias 1 Xanthi, 67100-Greece
13. Nanlohy, Hendry Joshua . *Aplikasi Biopetrol Etanol Dari Nira Kelapa Pada Spark Ignition Engine Satu Silinder ( Studi Kasus Etanol Lokal )*. Seminar Nasional PPS VII.
14. Thummadetsak, Thummarat. *E10, E20, E30 ; Effects on Tail pipe Emissions, Vehicle Performance and Hot Weather Drivability*. 6'th Asian Petroleum Technology Symposium. Cebu : Philippines. Jan 29-31,2008

## LAMPIRAN 1

| <b>PGM-FI</b><br>FUEL INJECTION |  | <b>Specification</b> |
|---------------------------------|--|----------------------|
| Panjang x lebar x tinggi        | 1.881 x 706 x 1.081,5 mm.  |                      |
| Jarak sumbu roda                | 1.239 mm.  |                      |
| Jarak terendah ke tanah         | 130 mm.  |                      |
| Berat kosong                    | 105,6 kg (tipe CW)<br>105,7 kg (tipe spoke)                            |                      |
| Tipe rangka                     | Tulang punggung  |                      |
| Tipe suspensi depan             | Teleskopik   |                      |
| Tipe suspensi belakang          | Lengan ayun dengan pegas ganda   |                      |
| Ukuran ban depan                | 70/90 - 17 M/C 38P   |                      |
| Ukuran ban belakang             | 80/90 - 17 M/C 44P   |                      |
| Tipe Velg                       | Cast wheel Alumunium Alloy (tipe CW)<br>Spoke / Jari-jari (tipe Spoke) |                      |
| Rem Depan                       | Cakram Hidrolik dengan piston ganda                                    |                      |
| Rem Belakang                    | Tromol   |                      |
| Kapasitas tangki bahan bakar    | 3,7 liter.   |                      |
| Sistem bahan bakar              | Fuel Injection (PGM-FI)  |                      |
| Tipe mesin                      | 4 langkah, SOHC, pendinginan.  |                      |
| Diameteri langkah               | 52,4 x 57,9 mm.  |                      |
| Volume langkah                  | 124,8 cc.  |                      |
| Perbandingan kompresi           | 9,0 : 1  |                      |
| Daya maksimum                   | 9,18 PS / 7.500 rpm.   |                      |
| Torsi maksimum                  | 0,99 kgf.m/ 5.000 rpm.   |                      |
| Kapasitas minyak pelumas mesin  | 0,7 liter pada penggantian periodik.                                   |                      |
| Kopling                         | Ganda, otomatis, sentrifugal, tipe basah.                              |                      |
| Gigi transmisi                  | 4 kecepatan rotari / bertautan tetap.                                  |                      |
| Pola pengoperan gigi            | N-1-2-3-4-N  |                      |
| Starter                         | Pedal dan elektrik.  |                      |
| AKI                             | MF 12 V – 3,5 Ah.  |                      |
| Busi                            | ND U20EPR9 / NGK CPR5EA-9  |                      |
| Sistem pengapiran               | Full transistorized  |                      |

## LAMPIRAN 2

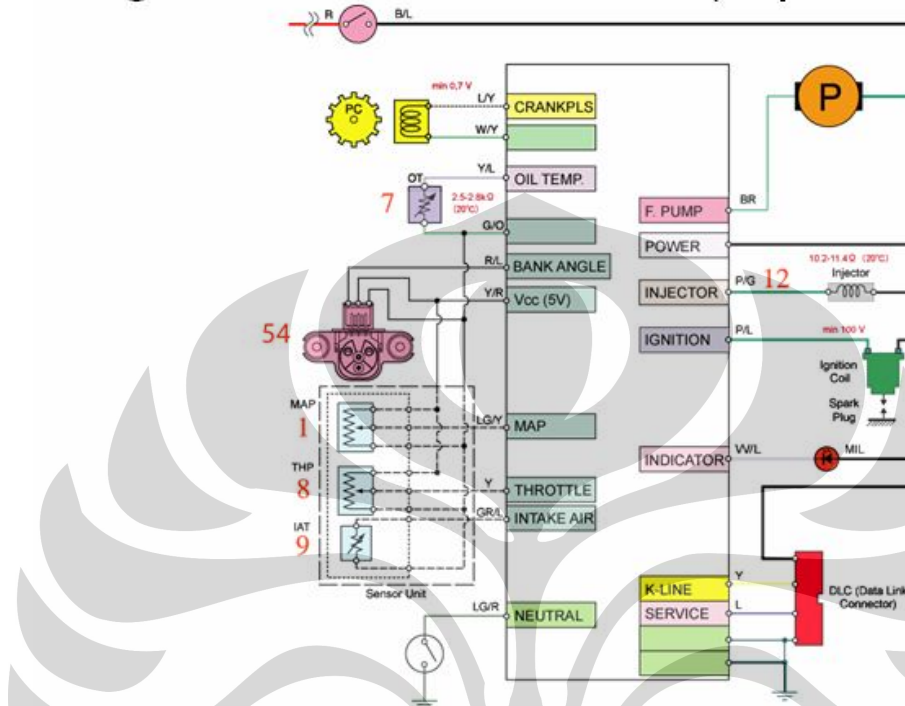
### PGM-FI SYSTEM LOCATION





## Electronic Control System

# Engine Control Module (Inputs / outputs)



Page 25

Disconnect the ECM 33P connector.  
Check for continuity between the injector connector and ECM connector at the wire harness side.

Check for no continuity between the injector 2P connector at the wire harness side and ground.

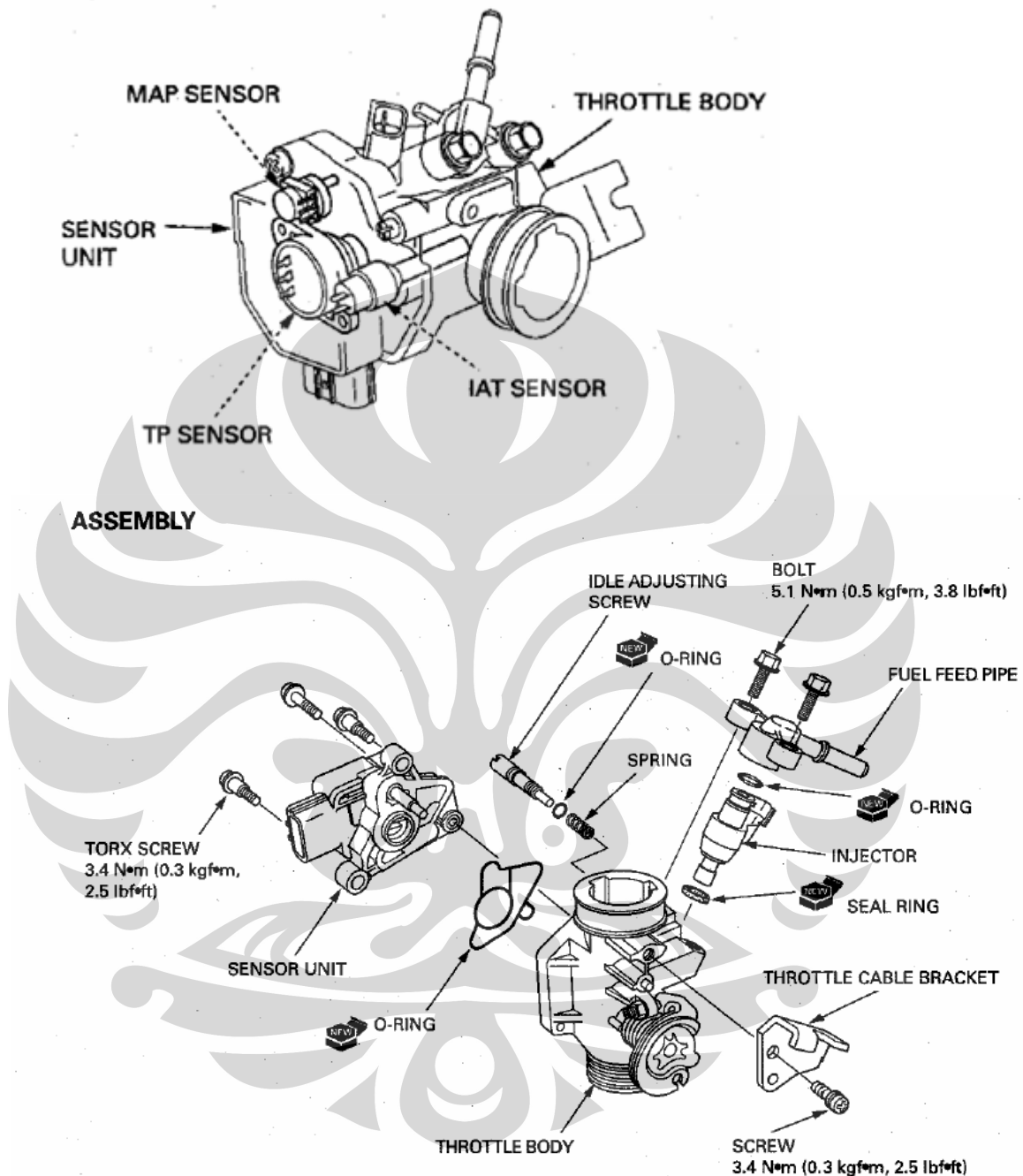


ECU ( Electronic-control unit )

**CONNECTION:** Pink/Green – Pink/Green  
**STANDARD:** Continuity  
**CONNECTION:** Pink/Green – Ground  
**STANDARD:** No continuity

## LAMPIRAN 4

### THROTTLE BODY ASSY



## LAMPIRAN 5

### 4 Composition part explanation(fuel supply system)

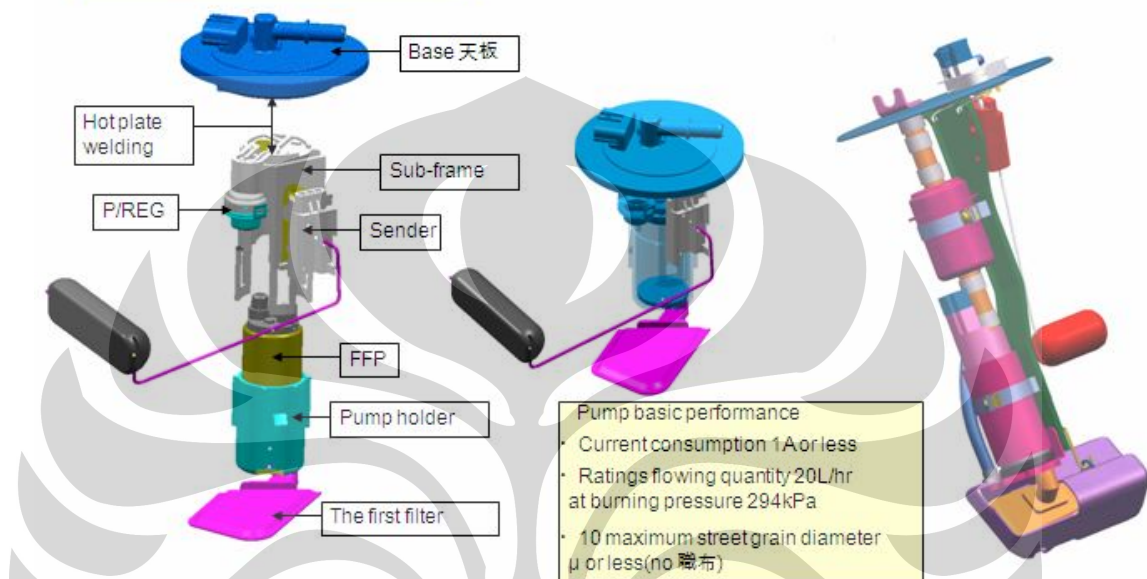
#### ② Fuel pump module(Fuel Pump Module)

Fuel supply

Thing to modulate fuel pump, pressure regulator, and efficient fuel filter.

Small FI ( GEVJ· KSVA· GEZM )

Large-scale two wheel(MCT· MEF another)



#### ⑪ Pressure regulator

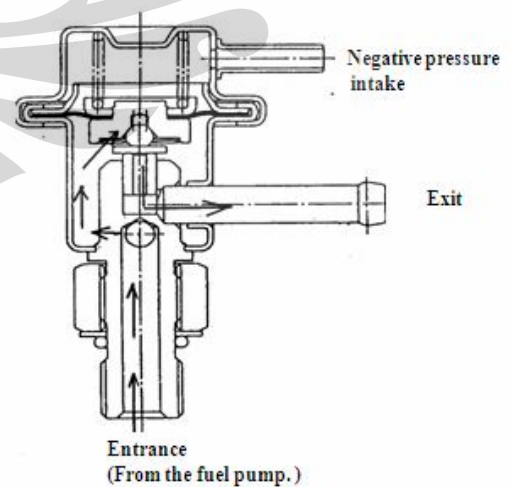
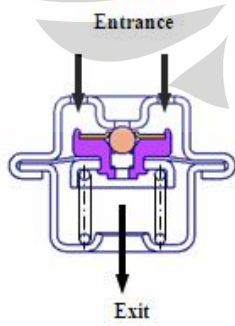
Device to maintain fuel pressure of fuel supplied to injector to stable.

The load and the fuel pressure adjustment spring which the diaphragm receives do the balance and fuel pressure is made constant.

Small FI ( GEVJ· KSVA· GEZM )

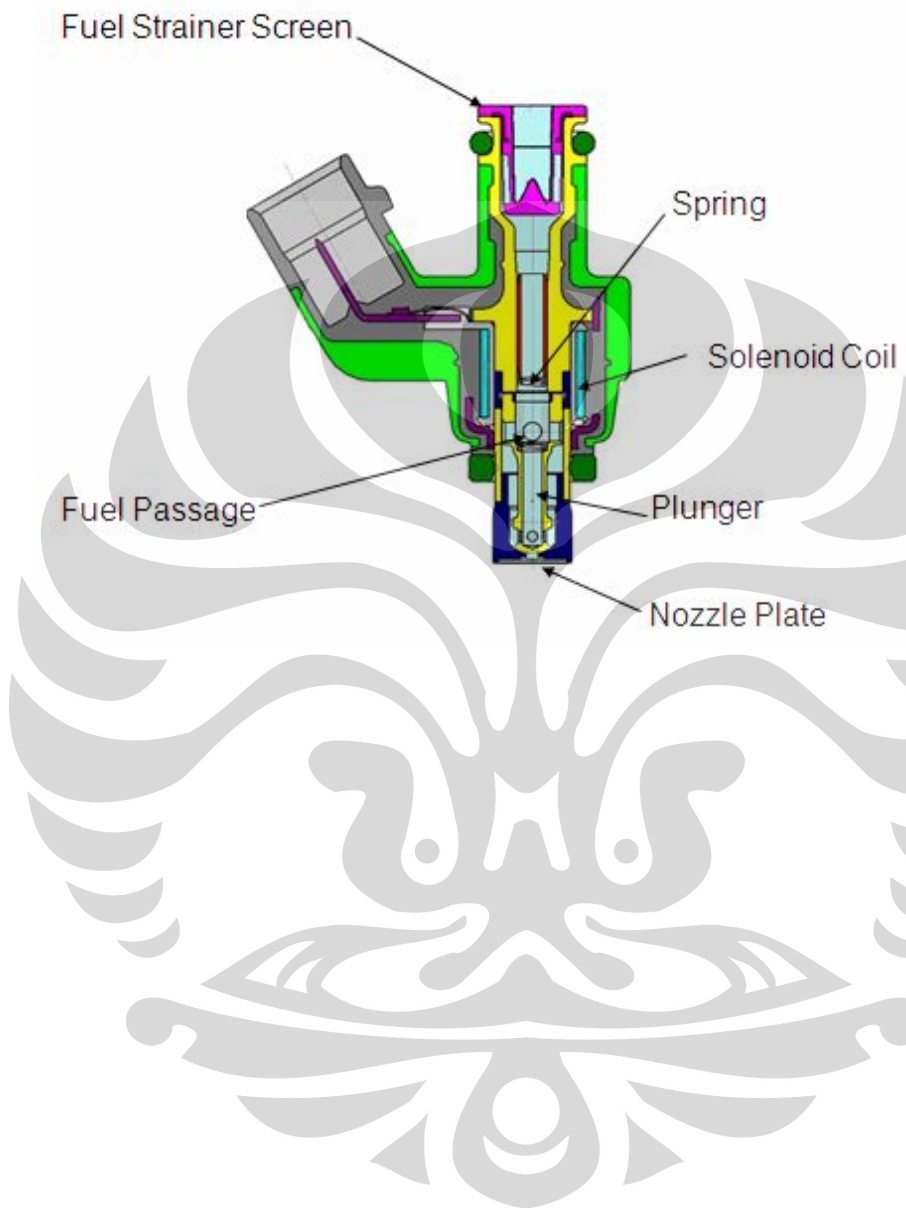
Large-scale two wheel(MCT· MEF another)

The small pressure regulator is adopted.  
builds in the pump module.



## LAMPIRAN 6

### Fuel Injector





## LAMPIRAN 7 (LANJUTAN)

Bahan Bakar : E30 (70% Pertamax + 30% etanol)

Tanggal : 14 Desember  
2008

Waktu pengapian : 10° BTDC

| No | Putaran (rpm) | Daya (HP) | Konsumsi BB / 10mL (s) | CO (%) | CO2 (%) | O2 (%) | HC (ppm) | NOx (ppm) | $\lambda$ (Lamda) |
|----|---------------|-----------|------------------------|--------|---------|--------|----------|-----------|-------------------|
| 1  | 3500          | 3.3       | 64                     | 0.16   | 7.1     | 10.2   | 147      | 1644      | 1.948             |
| 2  | 4000          | 4.2       | 59                     | 0.26   | 7.5     | 9.6    | 135      | 1644      | 1.829             |
| 3  | 4500          | 4.8       | 55                     | 0.09   | 8.2     | 8.8    | 129      | 1927      | 1.764             |
| 4  | 5000          | 5.3       | 45                     | 0.64   | 8.8     | 7.4    | 125      | 1830      | 1.513             |
| 5  | 5500          | 6         | 39                     | 1.14   | 9.4     | 6.2    | 146      | 1830      | 1.355             |
| 6  | 6000          | 6.55      | 35                     | 0.92   | 10      | 5.5    | 150      | 2000      | 1.31              |
| 7  | 6500          | 6.95      | 31                     | 0.52   | 11      | 4.4    | 133      | 2000      | 1.193             |
| 8  | 7000          | 7.1       | 28                     | 0.55   | 11.8    | 3.39   | 125      | 2000      | 1.165             |

## LAMPIRAN 8



### Dyno Dynamics - AWD450DS Chassis

#### Dynamometer

- Rear wheel drive
- Front wheel drive
- 4WD/AWD cars, recreational vehicles (with selectable single axle drive)
- 2WD/4WD race cars
- Sport utility vehicles
- Light commercial vehicles
- Motorcycles (with optional adapter)
- Front wheel drive
- Rear wheel drive
- All wheel drive
- Locked Front:Rear AWD
- Full time AWD
- Viscous coupled AWD
- Intelligent european AWD (Volvo dog clutch)
- Variable ratio Front:rear

Maximum vehicle weight 4,500 kg (9,900 lb) Maximum axle weight (per axle) 2,250 kg (4,450 lb)

Minimum wheelbase 2,250 mm (89") Maximum wheelbase 3,500 mm (138")